

3ª JORNADA DE AVANCES EN DISEÑO Y TECNOLOGÍA DEL HORMIGÓN

Viernes 27 de octubre - 8 a 12 hs - Facultad de Ingeniería

Amfiteatro del Edificio Polifuncional José L. Massera, anexo a la Facultad de Ingeniería (UdelaR) Senda Nelson Landoni esq. Julio Herrera y Reaño, Montevideo



27 Oct 2017 Montevideo, Uruguay

Perspectivas del Código Modelo ffb 2020: Verificaciones de Servicio, Vida Útil y Control de Fisuración. G. Balázs

fib Model Code 2020 perspectives and

Verification of serviceability - CRACK CONTROL

György L. Balázs, Honorary President of *fib*
Prof. Budapest Univ of Techn. and Economics



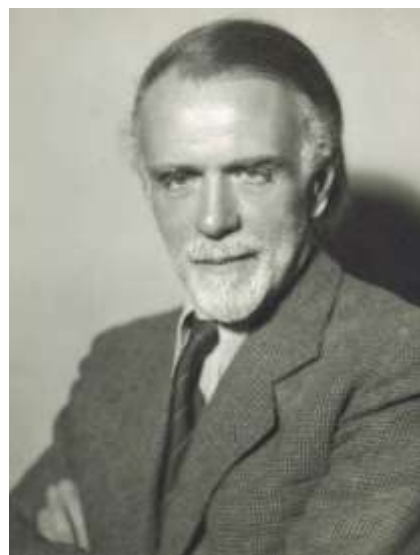
Where I come from?



Hungarian composers



- Liszt Ferenc (1811 - 1886)
- Kodály Zoltán (1882 - 1967)
- Bartók Béla (1881 - 1945)





Nobel prize winners of Hungarian origin

- 1905 Lénárd Fülöp
- 1914 Bárány Róbert
- 1925 Zsigmondy Richárd
- **1937 Szent-Györgyi Albert**
- 1943 Hevesy György
- 1961 Békésy György
- 1963 Wigner Jenő
- 1971 Gábor Dénes
- 1976 Daniel Carleton Gajdusek
- 1976 Milton Friedman
- 1986 Elie Wiesel
- 1986 Polányi János
- 1994 Harsányi János
- 1994 Oláh György
- 2002 Kertész Imre
- 2004 Herskó Ferenc



Hungarian inventions

- Matches
- Ball pen (Bíró)
- Camera
- Dynamo
- Basic language
- Floppy disk
- Rubik cube
- Telephone system
- Particle accelerator



Congratulations for the football Uruguay!

Hungarian football

Puskás Ferenc



fib = CEB + FIP: 60+ years of history; Presidents

fib = International Federation for Structural Concrete

CEB

1953-57 André Balency-Béarn (F)
1967-68 Franco Levi (I)
1968-71 Hubert Rüschi (D)
1971-78 Andrew Short (UK)
1979-83 Julio Ferry-Borges (P)
1983-87 Theodoros Tassios (GR)
1987-98 Roy Rowe (UK)



1953-58 Eugène Freyssinet (F)
1958-61 Eduardo Torroja (E)
1961-66 Yves Guyon (F)
1966-70 Franco Levi (I)
1970-74 Gerrit F. Janssonius (NL)
1974-78 Ben C. Gerwick Jr. (USA)
1978-82 Roger Lacroix (F)
1982-84 John Derrington (UK)
1984-88 Hans Wittfoht (D)
1988-92 René Walther (CH)
1992-96 Jan Moksnes (N)
1996-98 Michel Virlogeux (F)



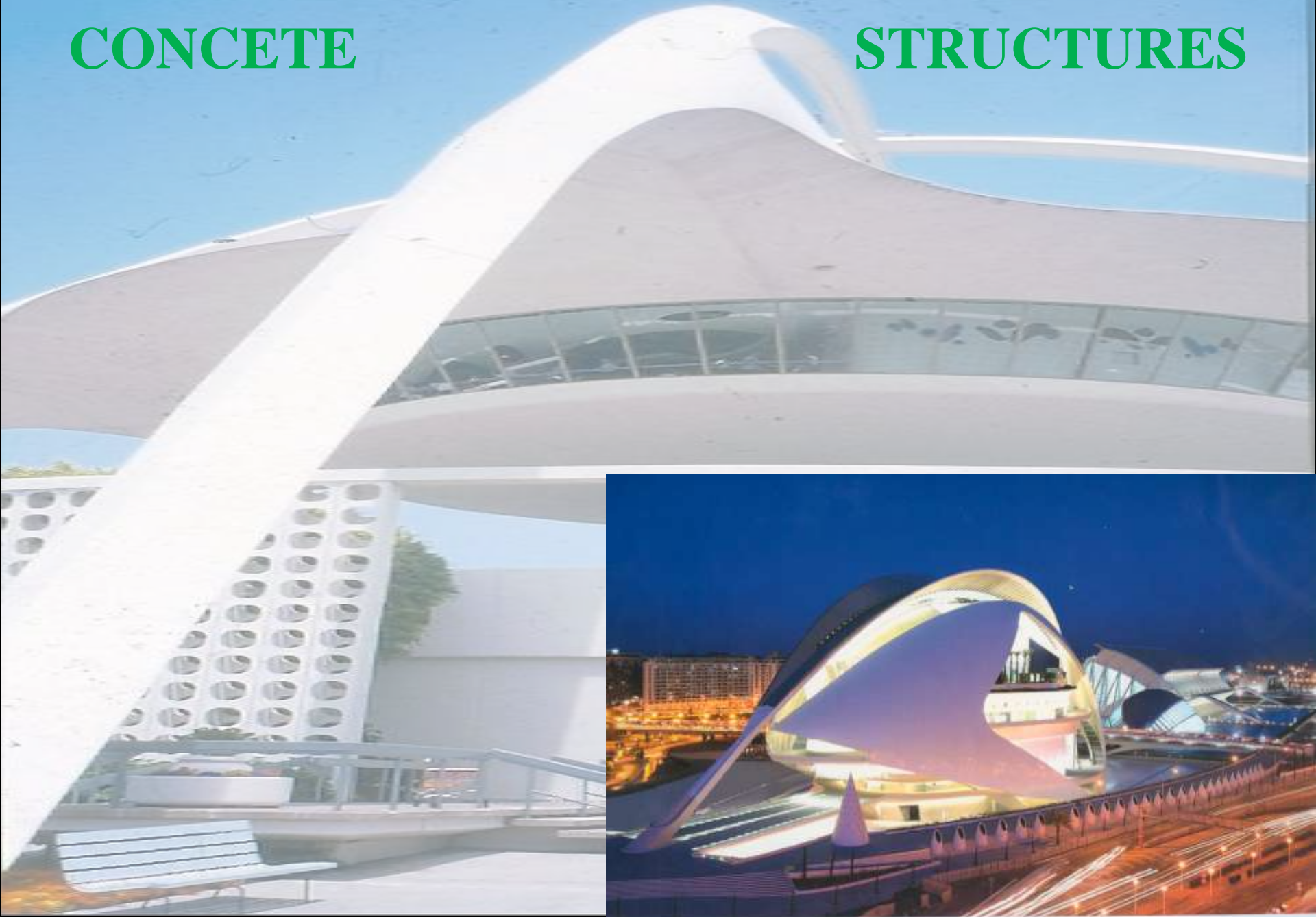
1998-2000 Michel Virlogeux (F)
2000-2002 Joost Walraven (NL)
2002-2004 Jim Forbes (AUS)
2005-2007 Giuseppe Mancini (I)
2007-2008 Hans-Rudolf Ganz (CH)
2009-2010 Michael Fardis (GR)
2011-2012 György L. Balázs (H)
2013-2014 Gordon Clark (UK)
2015-2016 Harald S. Müller (D)
2017-2018 Hugo Corres (E)

Historic fib Photo:



VOTING ON MODEL CODE 2010
29 Oct 2011, Lausanne

**WE ALL PARTICIPATE IN THE CREATION OF
CONCRETE STRUCTURES**



Developments should be included in codes



REQUIREMENTS TO CONCRETE STRUCTURES

Concrete must be:

- 1. Resistant**
- 2. Serviceable**
- 3. Durable**
- 4. Constructable**
- 5. Aesthetic**
- 6. Economic**

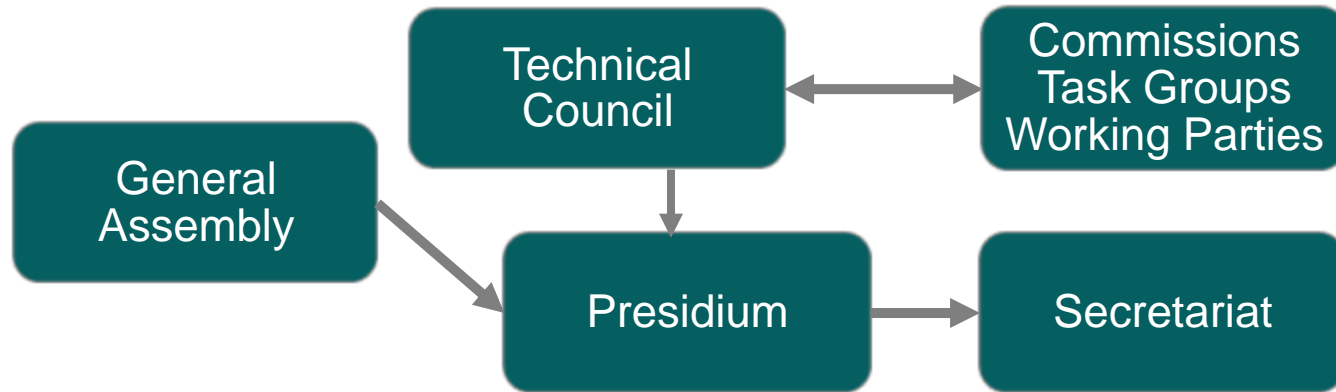


and also:

7. Robust enough to avoid progressive collapses
8. Require minimal maintenance
9. Able to embed waste materials
10. Provide barriers against hazards
11. Provide protection against accidents
12. Reusable
13. Recyclable
14. Fire and earthquake resistant
15. Environmentally compatible and support sustainability



THE *fib*'s STRUCTURE



Planning & execution

COM1
Concrete structures

COM2
Analysis & design

COM3
Existing Concrete Structures

Materials & production

COM4
Concrete & concrete technology

COM5
Reinforcement

COM6
Prefabrication

Sustainability & durability

COM7
Sustainability

COM8
Durability

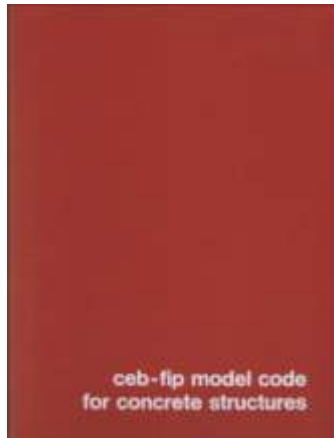
Education & publications

COM9
Dissemination of knowledge

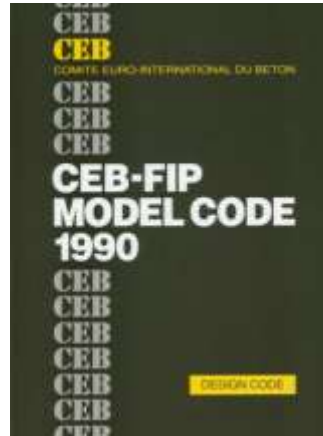
COM10
Model Codes

Main activity of *fib* is: **Pre-codification**

Evolution of Model Codes



Model Code 1978



Model Code 1990



Model Code 2010



CEB Bull. 165 Seismic Design



fib Bull. 34 Service Life Design

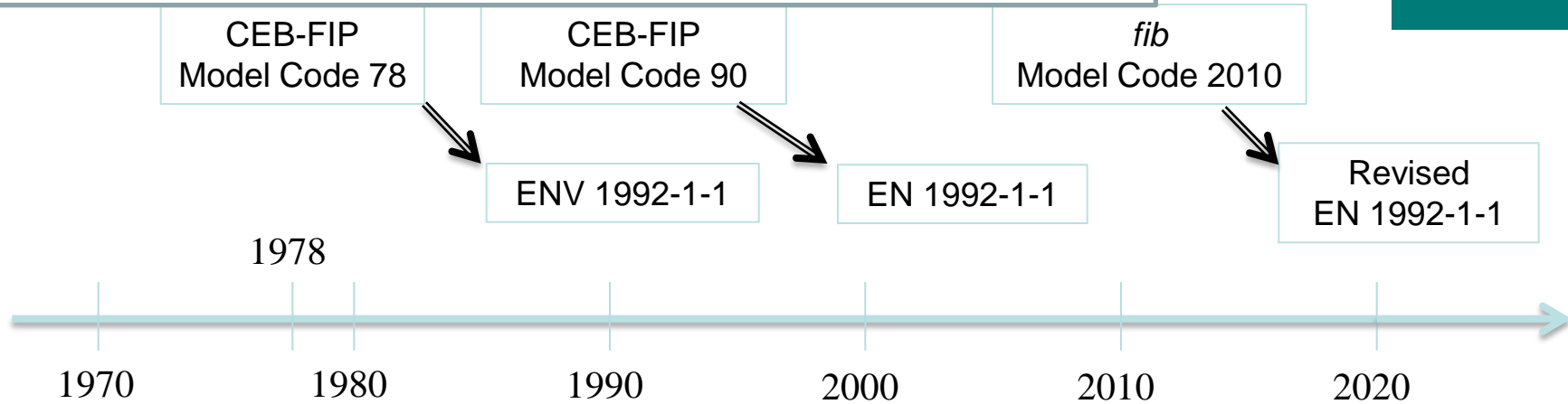


Creating fib-URUGUAY

fib is a pre-normative organization



STRONG INFLUENCE OF *fib* (CEB-FIP) MODEL CODES ON CODE DEVELOPEMENTS



MC78 and MC90 were used in Brazil partly as national codes

Collaboration with Asian Model code

Collaboration with African Model code

Model Codes are used as reference documents both in research and in design

www.ernst-und-sohn.de.mc2010

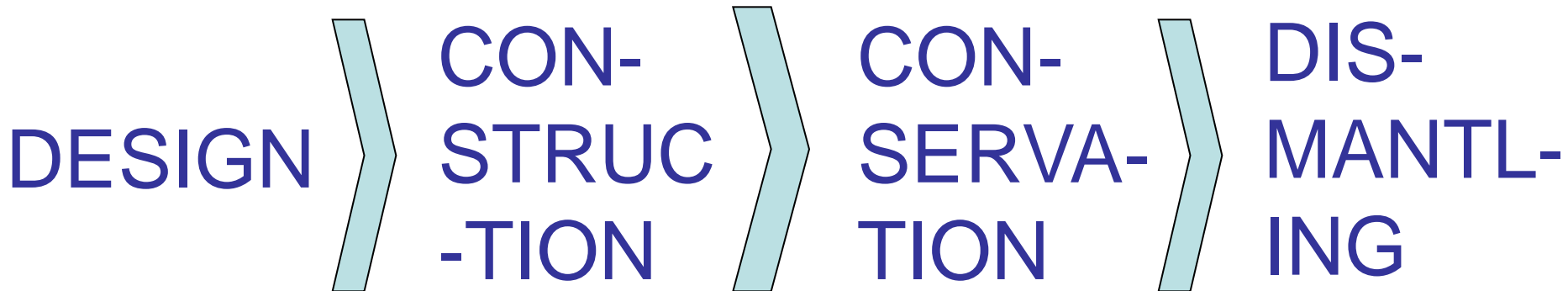


Creating fib-URUGUAY

MODEL CODE 2010

Safety Servicability Durability Sustainability
Performance based requirements

Includes whole life of structures



New types
of concretes

New types
of rf-s

Composite
structures

Most comprehensive code for concrete structures

TYPES OF STRUCTURES

BUILD-
INGS

BRIDGES

CAST
IN SITU

PRECAST

NEW
STRUC-
TURES

EXIST-
ING
STRUC-
TURES



CONTENT – *fib* MODEL CODE 2010

1-2. NOTATIONS, SCOPE, TERMINOLOGY

3. BASIC PRINCIPLES

4. PRINCIPLES OF STRUCTURAL DESIGN

5. MATERIALS

6. INTERFACE CHARACTERISTICS

7. DESIGN

8. CONSTRUCTION

9. CONSERVATION

10. DISMANTLEMENT

Main activity of *fib* is: **Pre-codification** Evolution of Model Codes



We are happy to have you interest to develop it together!

MC2020 Initiative – Global involvement



THE *fib*'s WAY OF WORKING



COM10 – First Meeting. Lausanne, 15 October 2016 at the EPFL

MC2010 for Concrete Structures

- A code, basically, for **new and old** structures
- Introduction of “**conceptual design**” to stimulate creativity
- Design with due regard to **service life** of structures
- First introduction of **sustainability**
- **Improved safety formats** for new and existing structures
- **Improved constitutive relations** for old and new types of concrete, with due attention to **durability aspects**
- **Steel fibres** and **non-metallic reinforcement** as new alternatives for reinforcing concrete structures
- Wide scope of **loading types** (static, fatigue, impact, explosion, seismic, fire, cryogenic)
- **Scientifically based models**, with simplified versions for lower level approximations (daily practice)
- Introduction of **reliability concepts** in numerical analysis
- Introduction of **maintenance strategies for through-life care**

- MC 2020 will be a single, merged structural code for **new and existing structures**
- It will be an **operational** model code and **oriented towards practical needs**
- It has to present **more general and more rational models**, removing all heritage from previous empirical design rules (MC2010 was an important step forward, but further steps are possible, and needed)
- It will recognize the needs of engineering communities around the world. MC 2020 has to be a real **International Code**.

2017 Statutory member countries

(National delegations)



We would be pleased to count Uruguay among our statutory members

Creating fib-URUGUAY

The *fib*'s Structural Concrete Journal

Impact factor 2016: 1.424
6 issues from 2016



Upcoming *fib* Symposia and Congresses

2017: Symposium.
Maastricht. The Netherlands



fib symposium 2017



2018: PhD Symposium
Prague. Czech Republic



2018: Congress.
Melbourne. Australia



2019: Symposium
Krakow. Poland

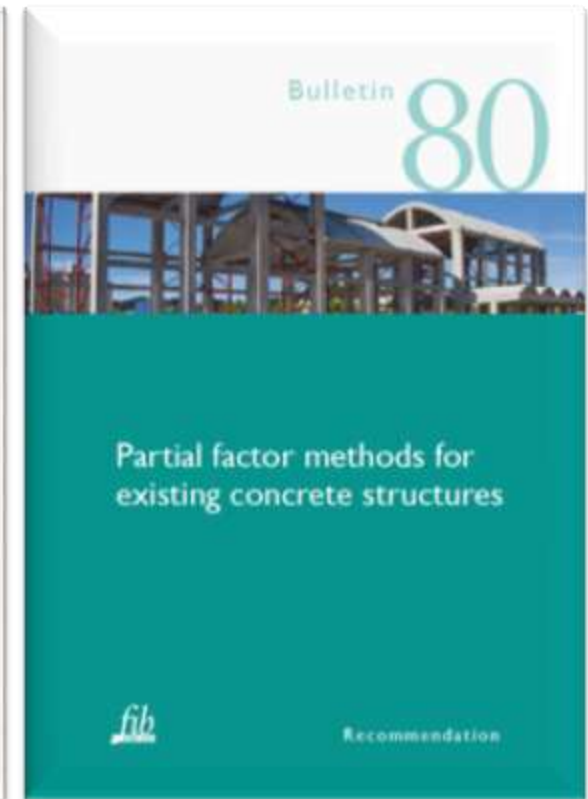
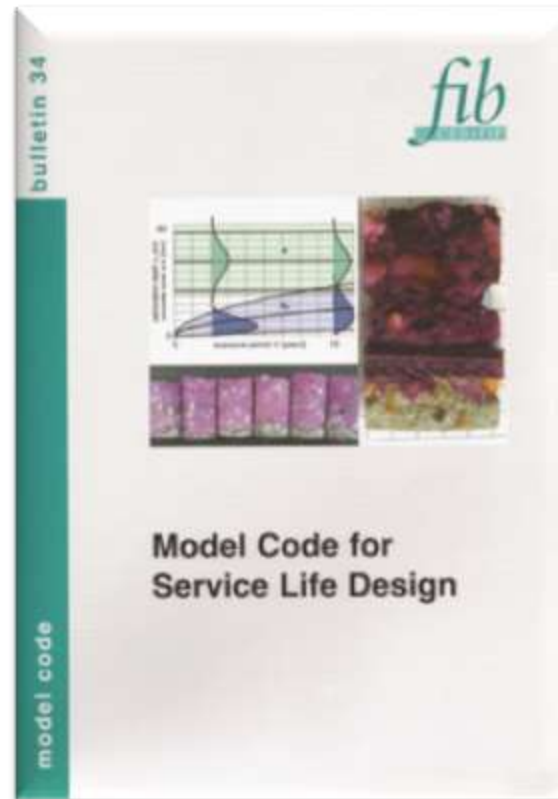


2020: Symposium
Shanghai. China

RESULTS OF COMMISSIONS AND TASK GROUPS ARE PUBLISHED AS

fib BULLETINS

- Technical reports
- State-of-the-art reports
- Textbooks
- Manuals or guides
- Recommendations
- Model Codes



fib Textbook: STRUCTURAL CONCRETE

Behaviour, design and performance



- courses 2003 - 2017

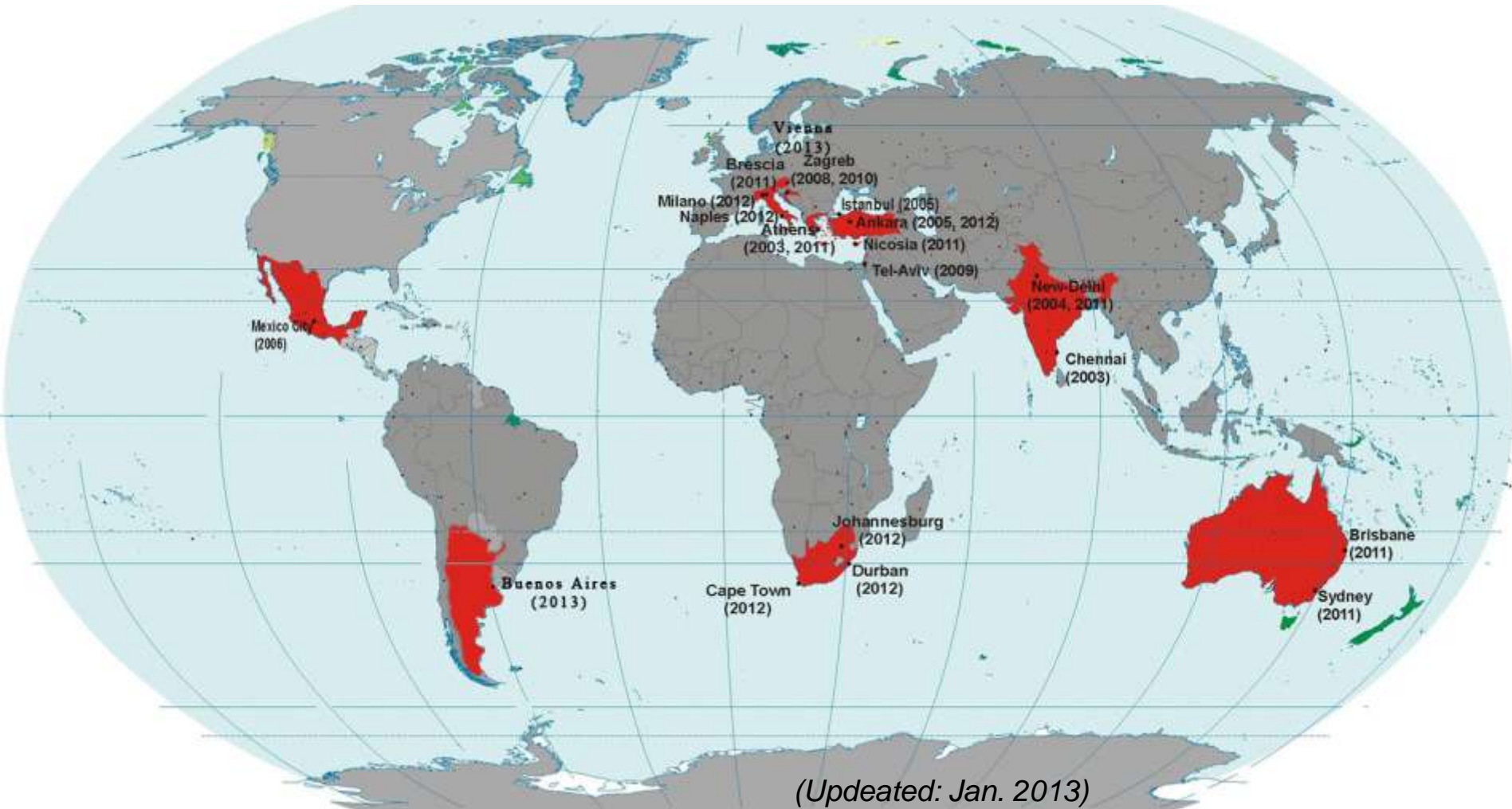
2011-12: Nicosia, Athens, New-Delhi, Brescia, Johannesburg, Durban, Cape Town, Milano, Napoli, Ankara

2013: Buenos Aires, Vienna

2014 Mumbai, Guimares

2015: Sao Paolo

2016 Sao Paolo, Cape Town



PhD Symposia



International PhD Symposia in Civil Engineering
supported by fib

1. 1998. TU of Technology
2. 1999. TU of Technology
3. 2000. Univ. of Applied Sciences Vienna
4. 2002. Technical Univ. Munich and Univ.
of the Federal Armed Forces Munich
5. 2004. Research School Structural Eng.
6. 2005. Delft Univ. of Technology
7. 2008. ETH Zürich

7. 2008. Universität Stuttgart
8. 2010. Technical University of Denmark
Department for Civil Engineering
9. 2012. Karlsruhe Institute
of Technology (KIT)
Germany
10. 2014. Université Laval
Canada

ACI-*fib* Collaboration:

1st Int. Conf. on Concrete Sustainability (ICCS13), Tokyo May 2013



3ª JORNADA DE AVANCES EN DISEÑO Y TECNOLOGÍA DEL HORMIGÓN

Viernes 27 de octubre - 8 a 12 hs - Facultad de Ingeniería

Amfiteatro del Edificio Polifuncional José L. Massera, anexo a la Facultad de Ingeniería (UdelaR) Senda Nelson Landoni esq. Julio Herrera y Reissig, Montevideo

27 Oct 2017 Montevideo, Uruguay

Verification of serviceability - CRACK CONTROL



Every engineer in the world knows about

GOTO CRACKS

(Goto,1971)

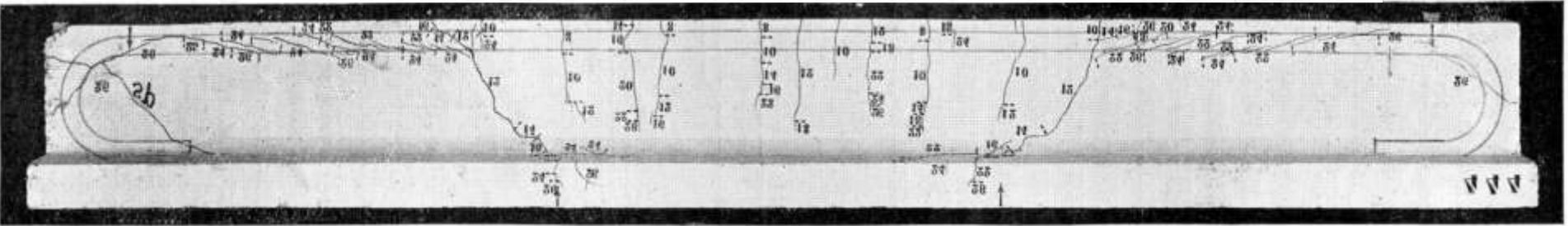
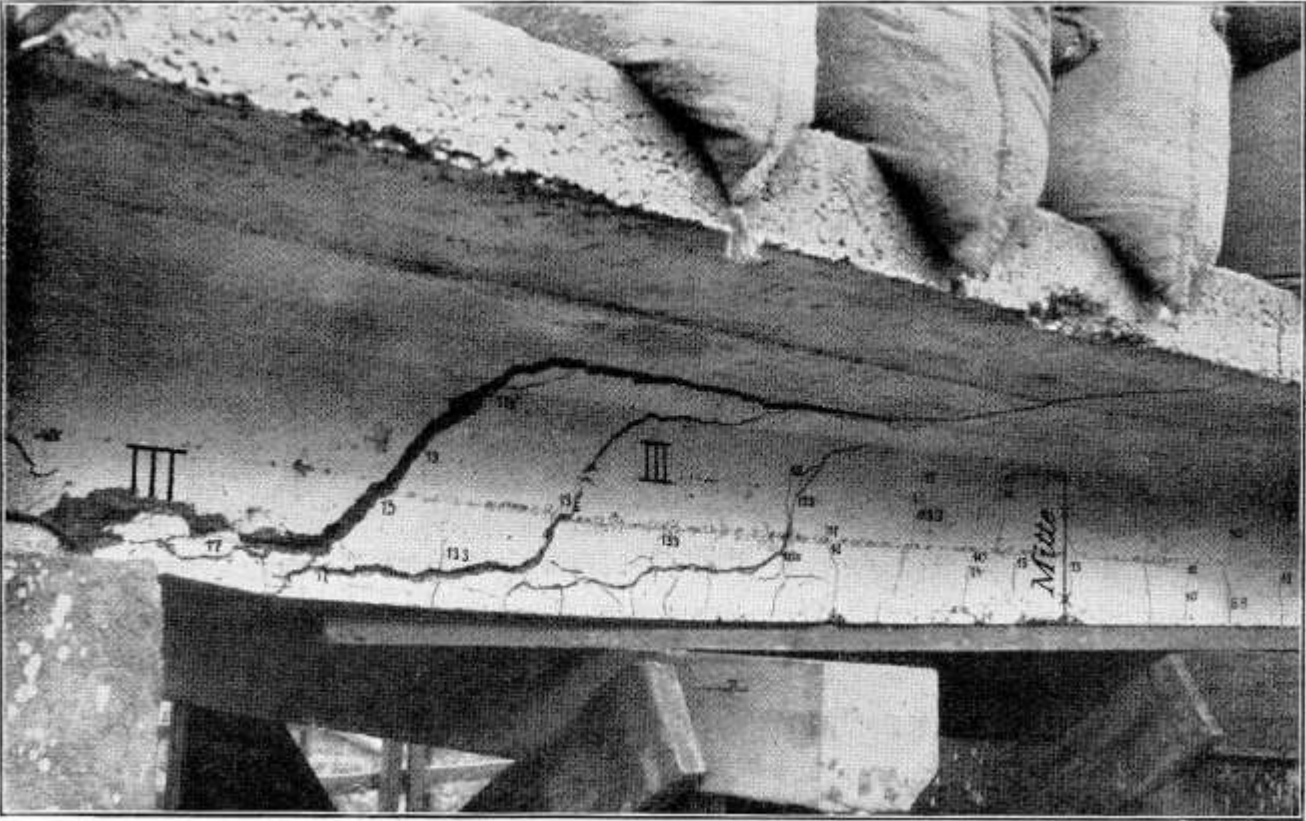
Indication of difference between micro cracks and macro cracks



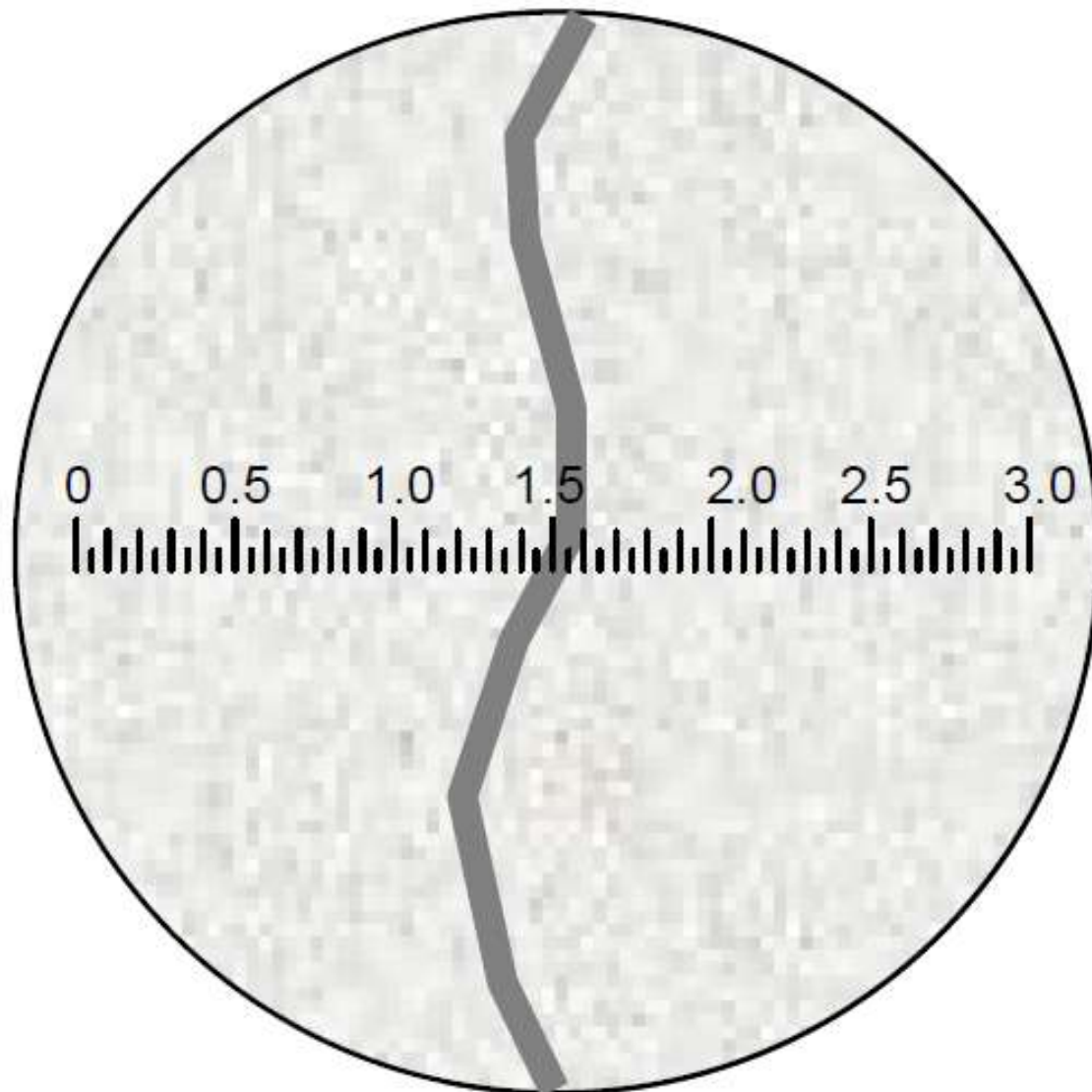
Cracking in structures:

MÖRSCH (1908)

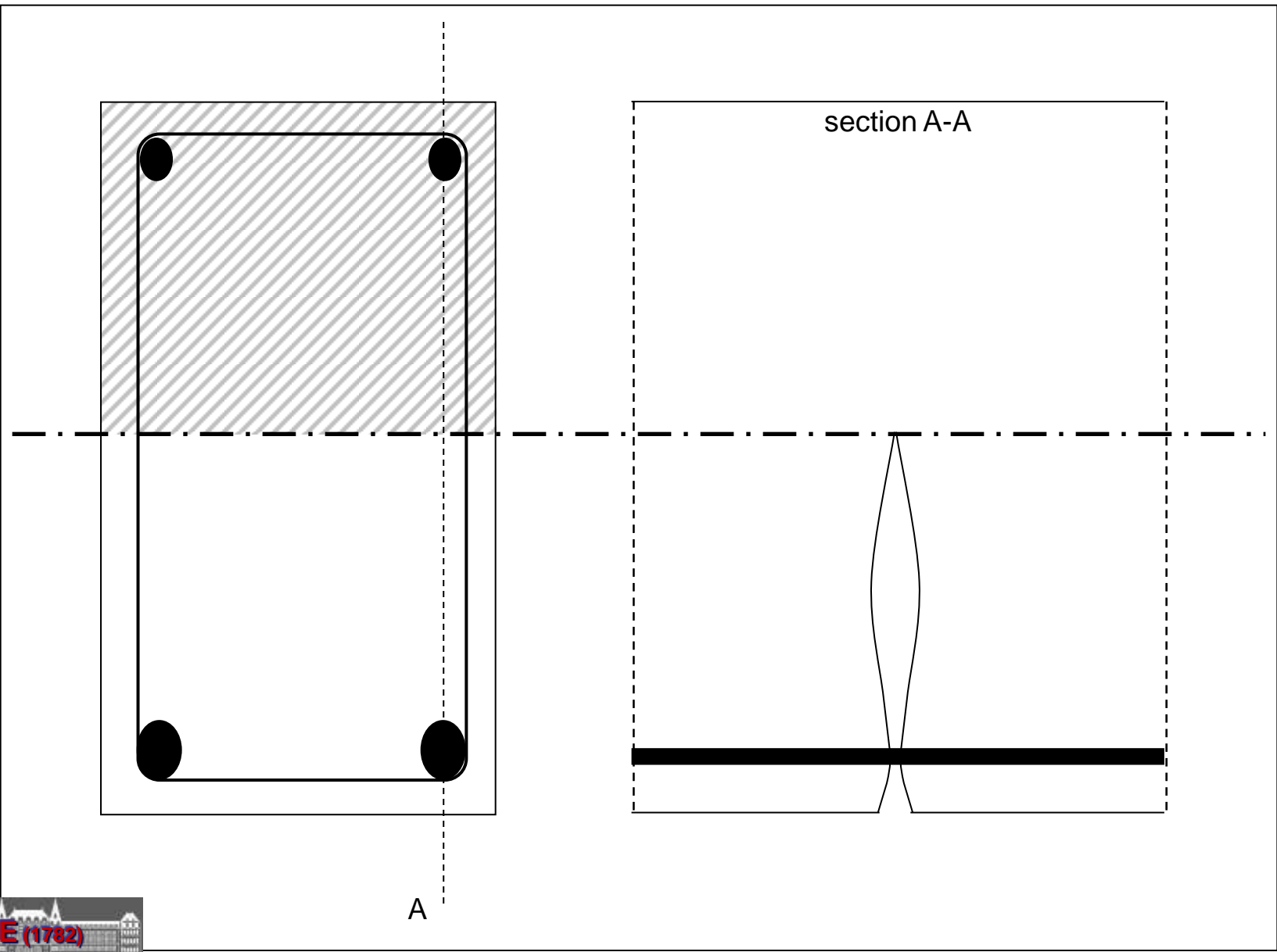
(Der Eisenbetonbau, seine Theorie und Anwendung)



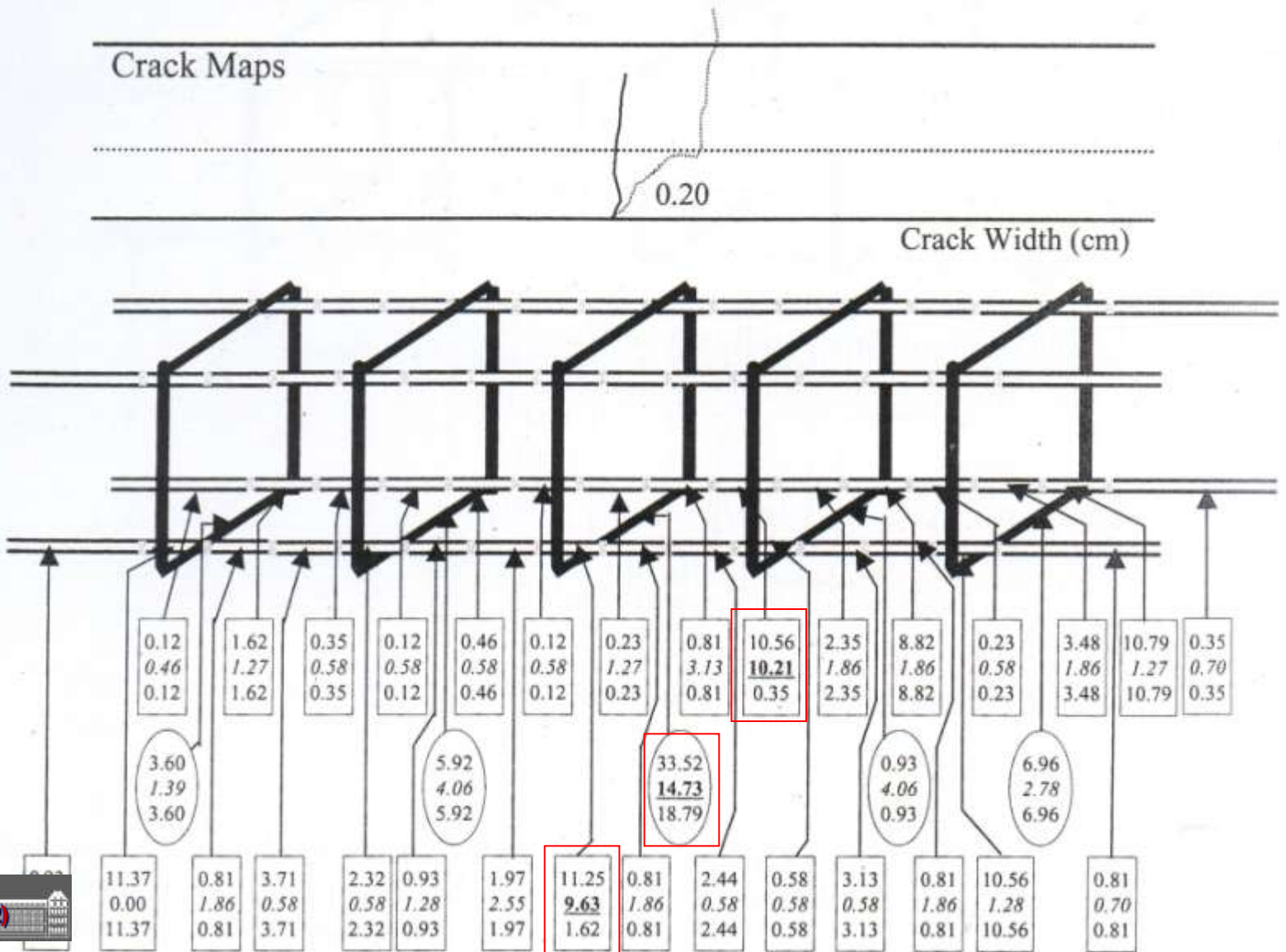
Cracks are visable



SHAPE OF FLEXURAL CRACK AND COVER THICKNESS



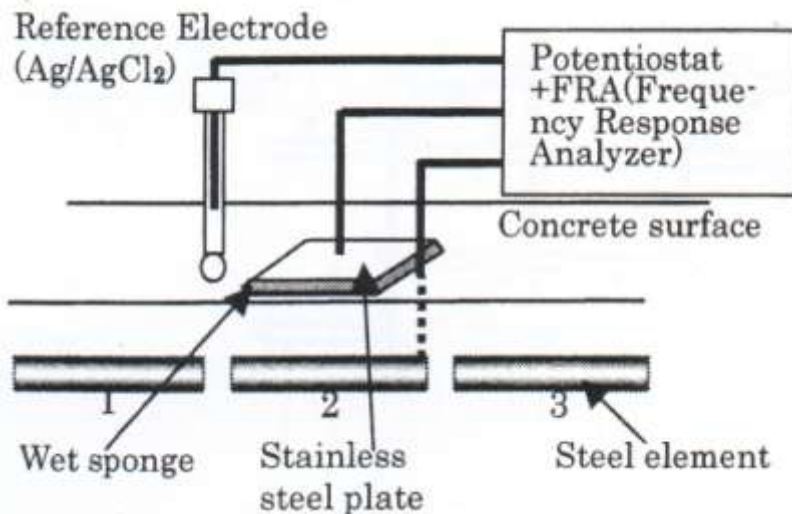
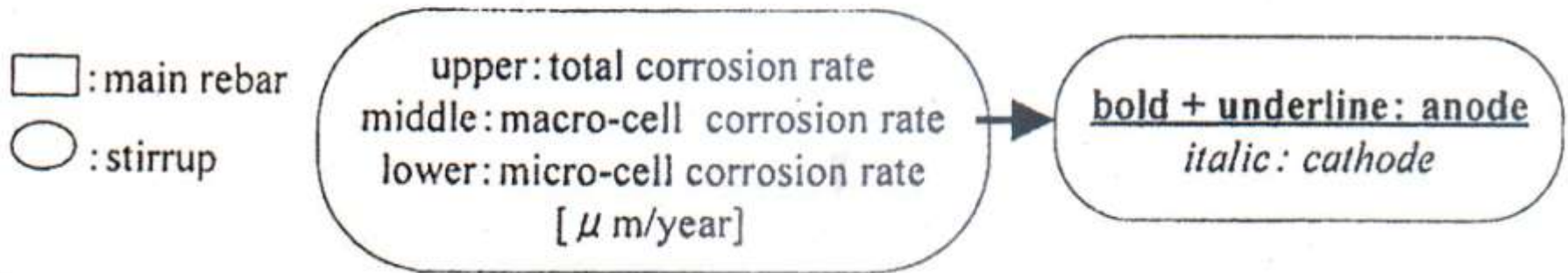
MEASURED CORROSION RATES (Otsuki, Miyazoto, Diola, Suzuki, 2000)



MEASURED CORROSION RATES

(Otsuki, Miyazoto, Diola, Suzuki, 2000)

The corrosion rates of main reinforcing bars and stirrups near a bending crack were clarified.



Micro-cell: current refers to the current flowing in the cell when only one steel component is involved.

Macro-cell: the total electric current flowing through all the adjacent steel components.

MEASURED CORROSION RATES

(Otsuki, Miyazoto, Diola, Suzuki, 2000)

- The influences of bending cracks and w/c on the corrosion rates of reinforcing bars **were very large.**
- In the vicinity of a bending crack a macrocell was formed and the **corrosion rate increased remarkably.**
- Since alkali content increases with the decrease in w/c, the **corrosion rate slows down with low w/c.**

Our everyday life is full of worries about cracks



Cracking in the nature:

Pine Island-Glacier (PIG)

In the Antarktis

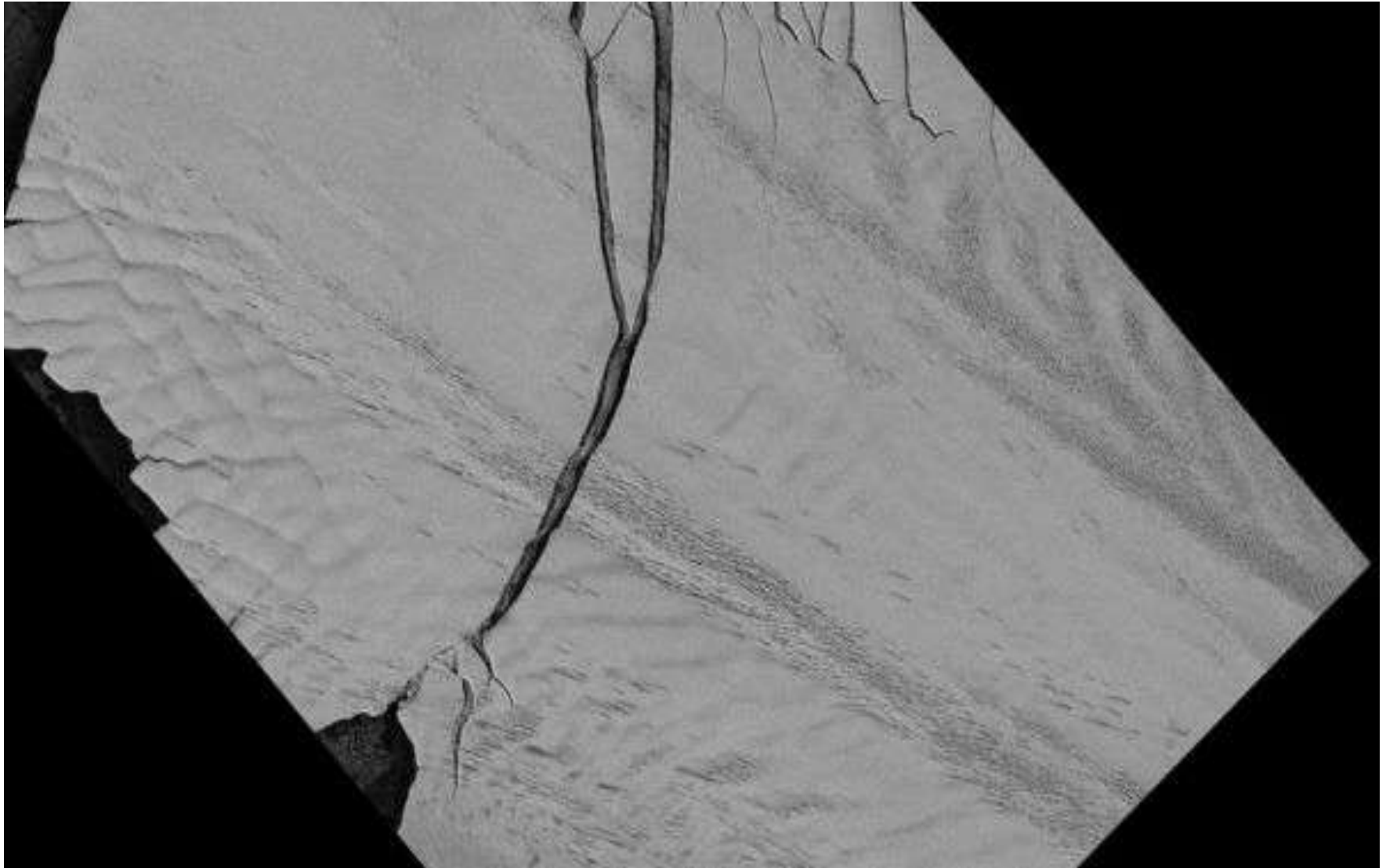
a crack produced separation of ice

10 July 2013, Wednesday - 13:54

<http://richpoi.com/cikkek/tudomany/uj-jeghegy-szuletett-a-deli-sarkvideken.html>



720 km² ice cracked away in the **Antarktis**



Pine Island-Glacier (PIG)

- 1/ shear wall under *monotonic* shear loading
- 2/ shear wall under *cyclic* shear loading

STUDIES:

- Cracking under mon load
- Free shrinkage
- Restrained shrinkage
- Thermo-hydro effects
- Alternating cyclic load

MEASUREMENTS:

- LVDTs,
- Vibrating gauges,
- Optical sensors,
- Acoustic sensors

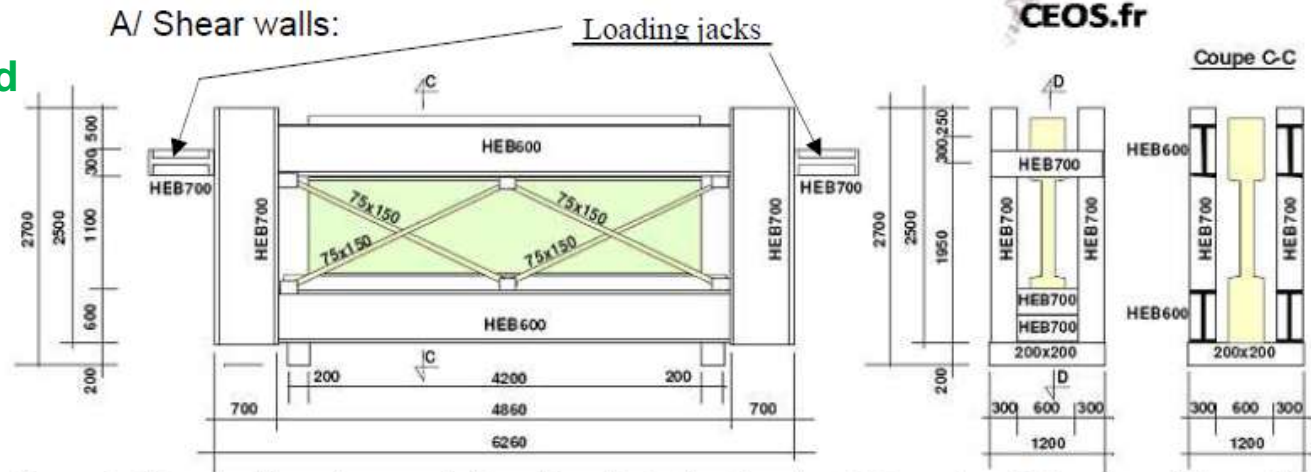


Figure 1: Shear wall specimens – left: wall on its testing bench- right: sectional elevation of the wall

- 3/ large beam specimens loaded in flexion after free shrinkage (figure 2 & 3)
- 4/ large beam specimens with restrained shrinkage (figure 4)

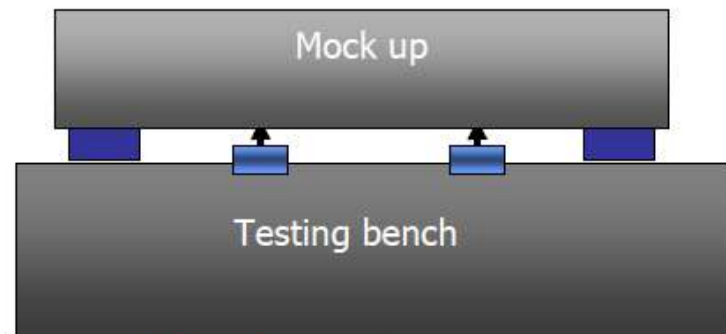


Figure 2: Large beam, scheme of the test

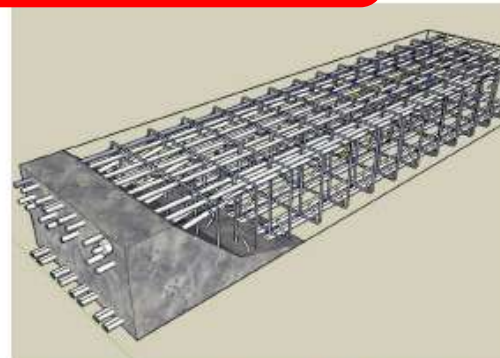


Figure 3: geometry and reinforcement scheme for the free shrinkage specimens

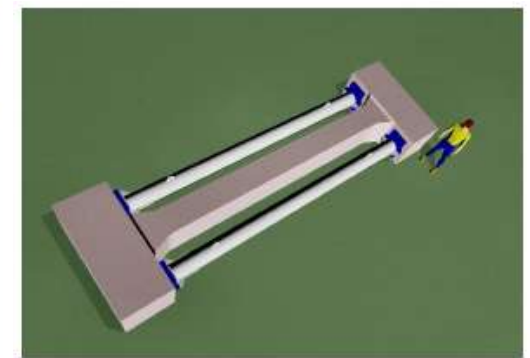


Figure 4: I geometry for the restrained shrinkage specimens and restrained system

Part 2. Main conclusions

- Crack spacing
 - Both EC2 and MC2010 **overestimate** crack spacing
 - Results are better with MC2010
- Strain difference
 - Both EC2 and MC2010 **underestimate the strain**, above all MC2010
 - **Tension stiffening** seems to be **overestimated** in both codes
- Crack width
 - EC2 **overestimates** crack width
 - MC2010 **slightly underestimates** crack width



PROJET
NATIONAL
CEOS.fr

ConCrack 4
–
20-21 March

JRC Ispra



COMPORTEMENT
ET
ÉVALUATION DES
OUVRAGES
SPÉCIAUX
–
FISSURATION ET
RETRAIT

18

CAUSES OF CRACKING

1. Technological (early age)

plastic shrinkage
plastic settlement...

2. Loads and imposed deformations (hardened concrete)

3. Volumetric changes in concrete

temperature differences
AAR, ASR...



NEEDS FOR CRACK CONTROL

- **tightness** (water and gas)

- **durability**

propagation of corrosion

permeability, chloride ingress...

Where is the limit?

- **appearance**



Water and gas tightness



WATER TIGHT- NESS?



SELF HEAL- ING?



Pontoons need to swim



**There are many
other reasons of cracks
In concrete structures
in
early ages and in service**



Cracking between concretes of different ages



Cracking from stress concentrations



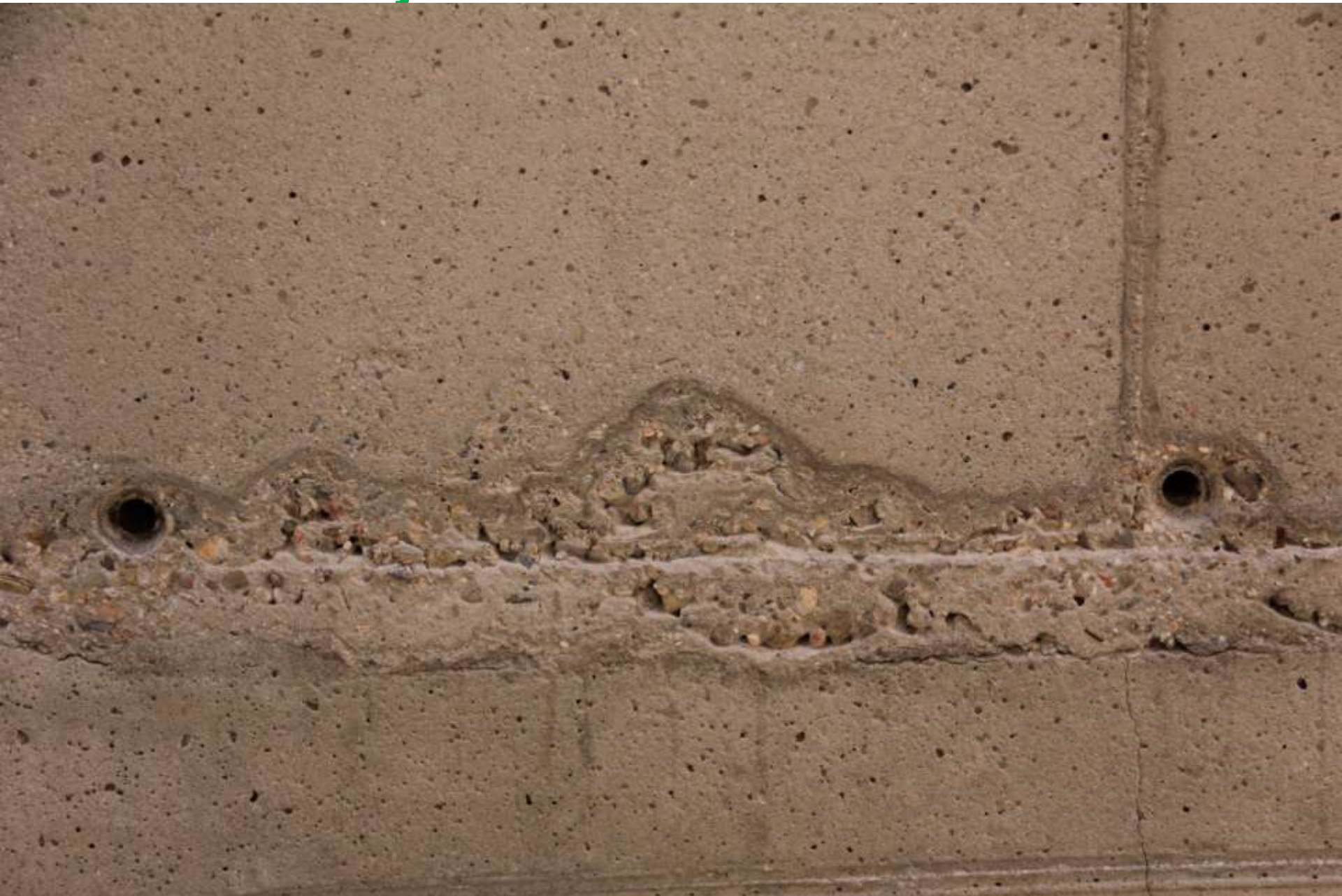
Railway sleeper



Airport runway



Precast form joints





SERVICEABILITY LIMIT STATES (SLS)

The states beyond which specified demands for a structure or a structural component related to its

normal use or function are no longer met.

SLS criteria are related to



- **Unacceptable deformations or deflections**
 - impair functionality
 - damage to non-structural elements
 - discomfort to people
 - effect appearance
- **Excessive cracking and slip in connections**
 - affect efficiency
 - affect tightness
 - affect appearance, but
 - does not effect structural safety
- **Excessive vibrations**
 - impair user's comfort and structural effectiveness

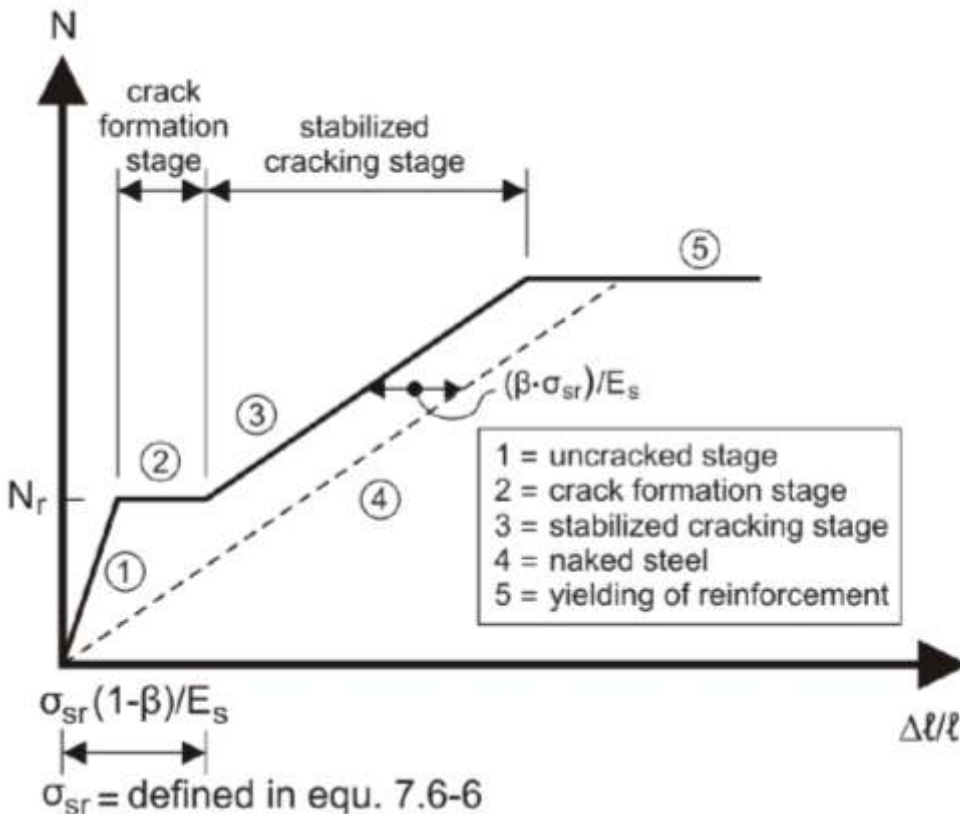
DEFINITION OF CRACK WIDTH

$$w = \int_0^{s_r} [\varepsilon_s(x) - \varepsilon_c(x)] dx$$

7.6 DESIGN: SLS - Cracking and deflections

Tensile force-strain diagram

Crack control



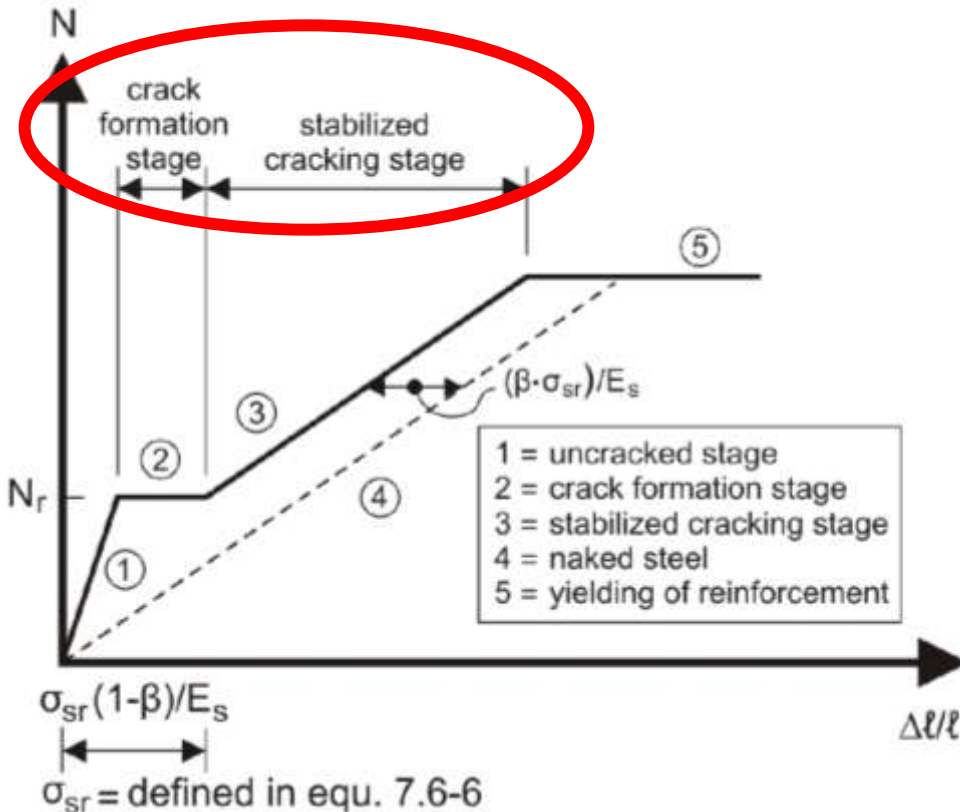
$$w_d = 2l_{s,\max} (\varepsilon_{sm} - \varepsilon_{cm} - \varepsilon_{cs})$$

$$l_{s,\max} = k \cdot c + \frac{1}{4} \cdot \frac{f_{ctm}}{\tau_{bm}} \cdot \frac{\phi_s}{\rho_{s,ef}}$$

$$\varepsilon_{sm} - \varepsilon_{cm} - \varepsilon_{cs} = \frac{\sigma_s - \beta \cdot \sigma_{sr}}{E_s} + \eta_r \cdot \varepsilon_{sh}$$

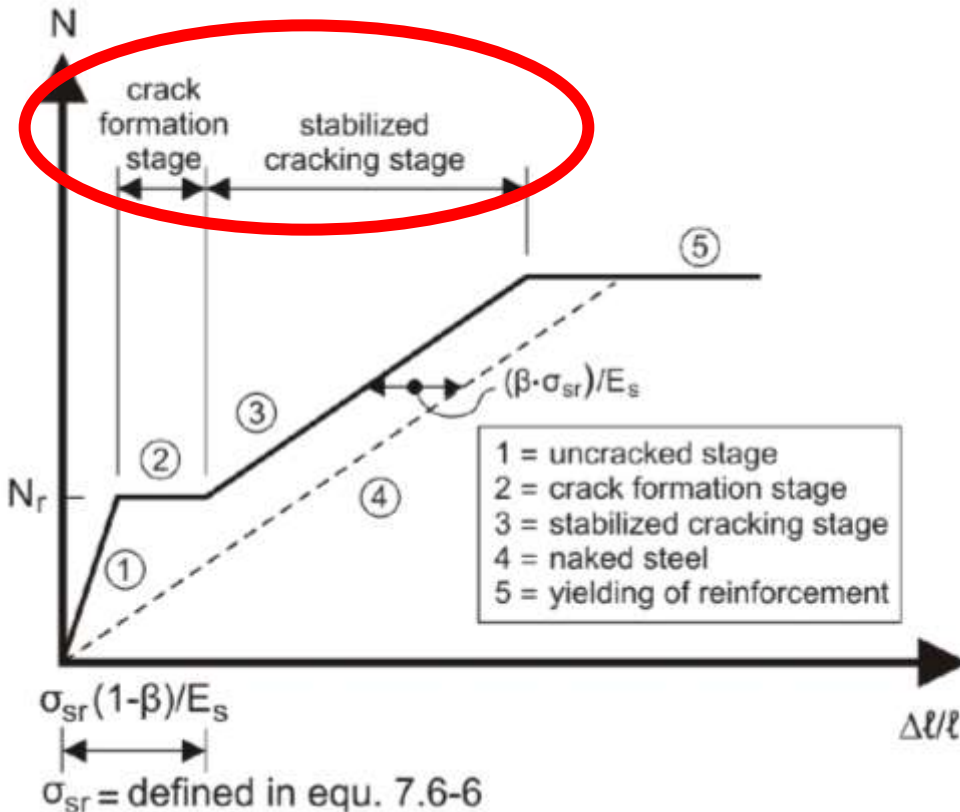
7.6 DESIGN: SLS - Cracking and deflections

Tensile force-strain diagram

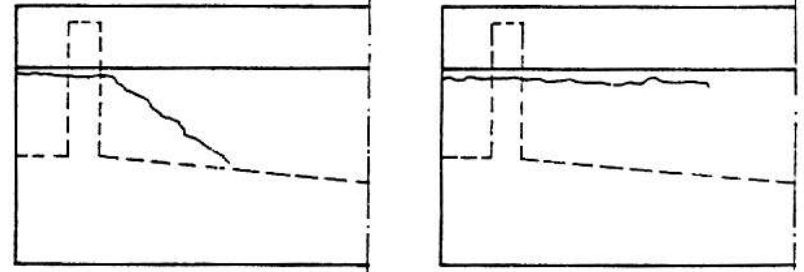


7.6 DESIGN: SLS - Cracking and deflections

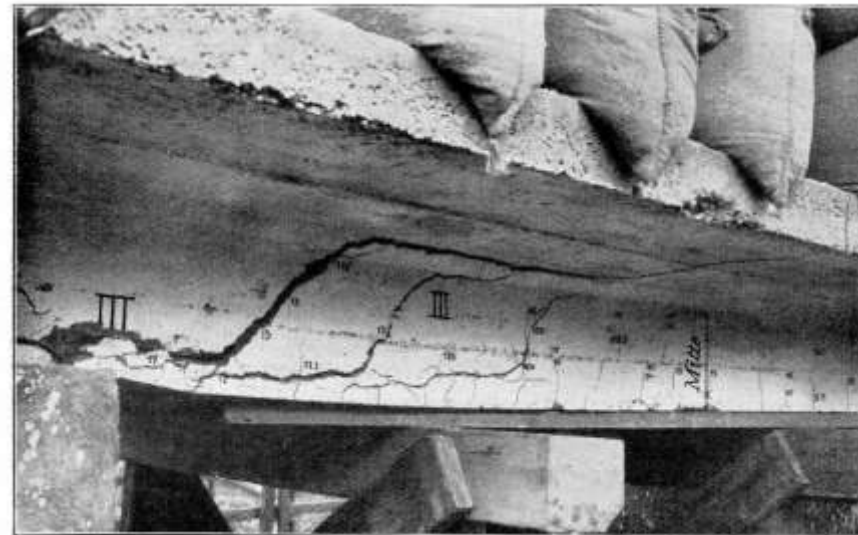
Tensile force-strain diagram



Crack formation phase

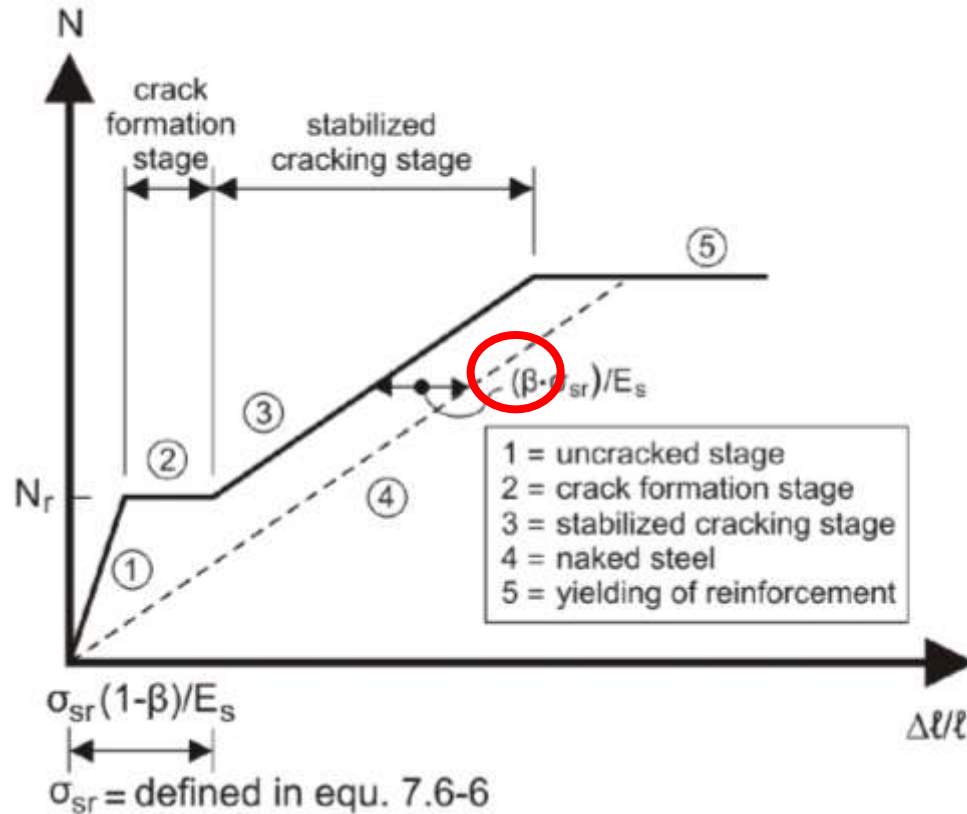


Stabilized cracking



7.6 DESIGN: SLS - Cracking and deflections

Tensile force-strain diagram



7.6 DESIGN: SLS - Cracking and deflections

Crack control

$$w_d = 2l_{s,\max} (\varepsilon_{sm} - \varepsilon_{cm} - \varepsilon_{cs})$$

$$l_{s,\max} = k \cdot c + \frac{1}{4} \cdot \frac{f_{ctm}}{\tau_{bm}} \cdot \frac{\phi_s}{\rho_{s,ef}}$$

$$\varepsilon_{sm} - \varepsilon_{cm} - \varepsilon_{cs} = \frac{\sigma_s - \beta \cdot \sigma_{sr}}{E_s} + \eta_r \cdot \varepsilon_{sh}$$

7.6 DESIGN: SLS - Cracking and deflections

Crack control

$$w_d = 2l_{s,\max} (\varepsilon_{sm} - \varepsilon_{cm} - \varepsilon_{cs})$$

$$l_{s,\max} = k \cdot c + \frac{1}{4} \cdot \frac{f_{ctm}}{\tau_{bm}} \cdot \frac{\phi_s}{\rho_{s,ef}}$$

$$\varepsilon_{sm} - \varepsilon_{cm} - \varepsilon_{cs} = \frac{\sigma_s - \beta \cdot \sigma_{sr}}{E_s} - \eta_r \cdot \varepsilon_{sh}$$

7.6 DESIGN: SLS - Cracking and deflections

Crack control

$$w_d = 2l_{s,\max} (\varepsilon_{sm} - \varepsilon_{cm} - \varepsilon_{cs})$$

$$l_{s,\max} = k \cdot c + \frac{1}{4} \cdot \frac{f_{ctm}}{\tau_{bm}} \cdot \frac{\phi_s}{\rho_{s,ef}}$$

$$\varepsilon_{sm} - \varepsilon_{cm} - \varepsilon_{cs} = \frac{\sigma_s - \beta \cdot \sigma_{sr}}{E_s} - \eta_r \cdot \varepsilon_{sh}$$

7.6 DESIGN: SLS - Cracking and deflections

Crack control

$$w_d = 2l_{s,\max} (\varepsilon_{sm} - \varepsilon_{cm} - \varepsilon_{cs})$$

$$l_{s,\max} = k \cdot c + \frac{1}{4} \cdot \frac{f_{ctm}}{\tau_{bm}} \cdot \frac{\phi_s}{\rho_{s,ef}}$$

$$\varepsilon_{sm} - \varepsilon_{cm} - \varepsilon_{cs} = \frac{\sigma_s - \beta \cdot \sigma_{sr}}{E_s} - \eta_r \cdot \varepsilon_{sh}$$

7.6 DESIGN: SLS - Cracking and deflections

Crack control

$$w_d = 2l_{s,\max} (\varepsilon_{sm} - \varepsilon_{cm} - \varepsilon_{cs})$$

$$l_{s,\max} = k \cdot c + \frac{1}{4} \cdot \frac{f_{ctm}}{\tau_{bm}} \cdot \frac{\phi_s}{\rho_{s,ef}}$$

$$\varepsilon_{sm} - \varepsilon_{cm} - \varepsilon_{cs} = \frac{\sigma_s - \beta \cdot \sigma_{sr}}{E_s} - \eta_r \cdot \varepsilon_{sh}$$

7.6 DESIGN: SLS - Cracking and deflections

Crack control

$$w_d = 2l_{s,\max} (\varepsilon_{sm} - \varepsilon_{cm} - \varepsilon_{cs})$$

$$l_{s,\max} = k \cdot c + \frac{1}{4} \cdot \frac{f_{ctm}}{\tau_{bm}} \cdot \frac{\phi_s}{\rho_{s,ef}}$$

$$\varepsilon_{sm} - \varepsilon_{cm} - \varepsilon_{cs} = \frac{\sigma_s - \beta \cdot \sigma_{sr}}{E_s} - \eta_r \cdot \varepsilon_{sh}$$

7.6 DESIGN: SLS - Cracking and deflections

Crack control

$$w_d = 2l_{s,\max} (\varepsilon_{sm} - \varepsilon_{cm} - \varepsilon_{cs})$$

$$l_{s,\max} = k \cdot c + \frac{1}{4} \cdot \frac{f_{ctm}}{\tau_{bm}} \cdot \frac{\phi_s}{\rho_{s,ef}}$$

$$\varepsilon_{sm} - \varepsilon_{cm} - \varepsilon_{cs} = \frac{\sigma_s - \beta \cdot \sigma_{sr}}{E_s} - \eta_r \cdot \varepsilon_{sh}$$

7.6 DESIGN: SLS - Cracking and deflections

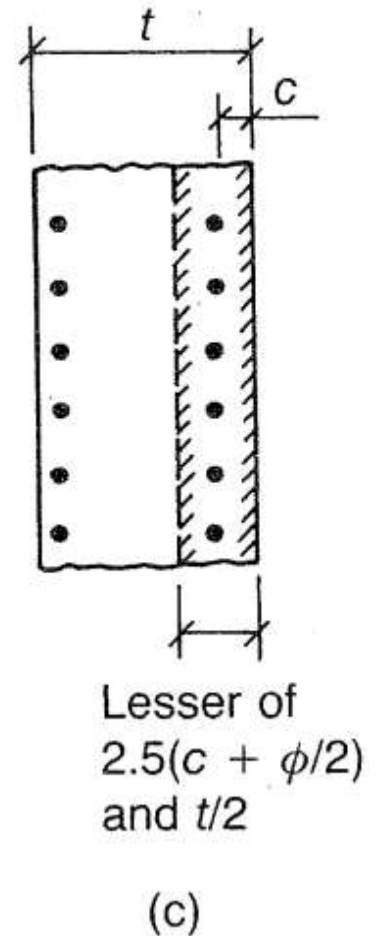
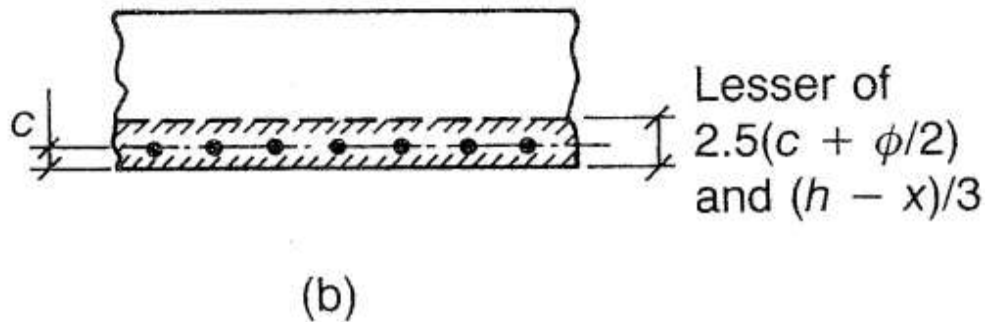
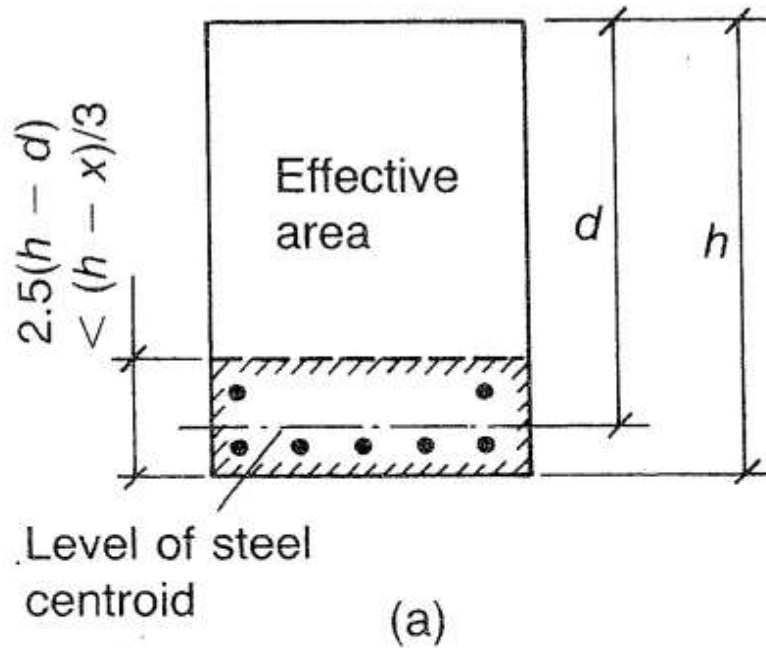
Crack control

$$w_d = 2l_{s,\max} (\varepsilon_{sm} - \varepsilon_{cm} - \varepsilon_{cs})$$

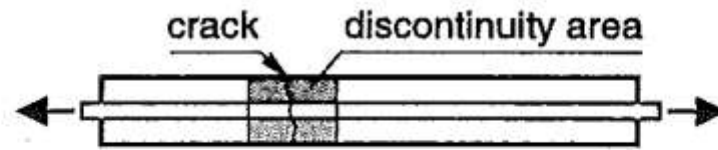
$$l_{s,\max} = k \cdot c + \frac{1}{4} \cdot \frac{f_{ctm}}{\tau_{bm}} \cdot \frac{\phi_s}{\rho_{s,ef}}$$

$$\varepsilon_{sm} - \varepsilon_{cm} - \varepsilon_{cs} = \frac{\sigma_s - \beta \cdot \sigma_{sr}}{E_s} - \eta_r \cdot \varepsilon_{sh}$$

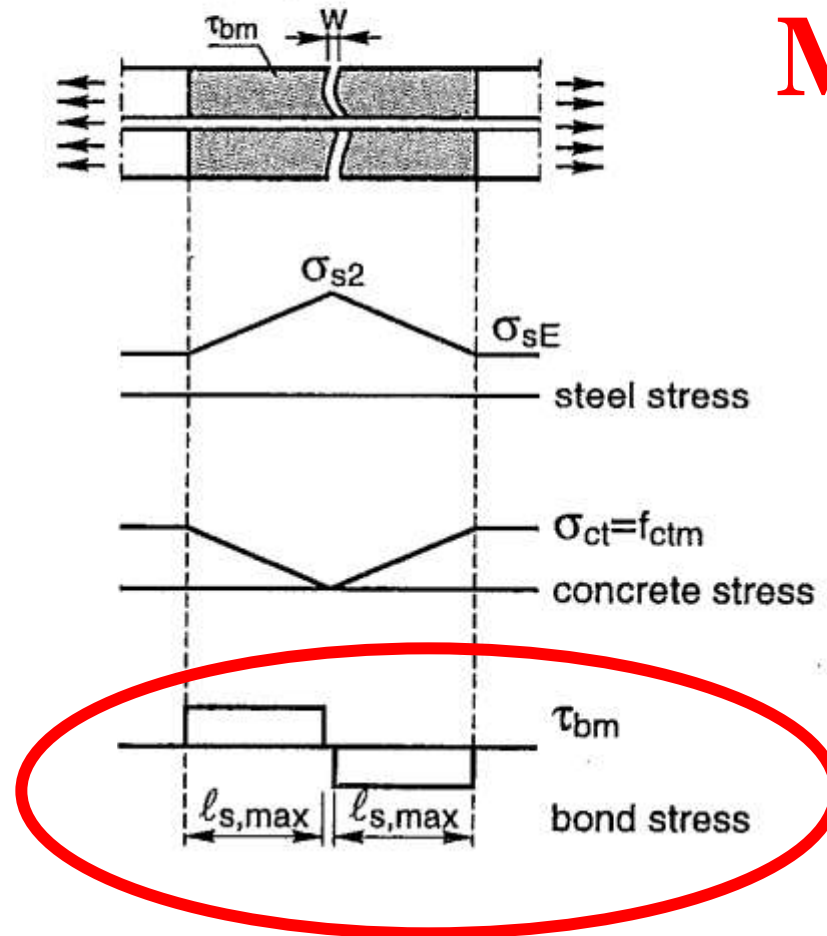
Effective concrete area in tension



The tie model



MC2010



Values for τ_{bm} , β and η_r for deformed reinforcing bars

	Crack formation stage	Stabilized cracking stage
Short term, instantaneous loading	$\tau_{bm} = 1,8 \cdot f_{ctm}(t)$ $\beta = 0.6$ $\eta_r = 0$	$\tau_{bm} = 1,8 \cdot f_{ctm}(t)$ $\beta = 0.6$ $\eta_r = 0$
Long term, repeated loading	$\tau_{bm} = 1,35 \cdot f_{ctm}(t)$ $\beta = 0.6$ $\eta_r = 0$	$\tau_{bm} = 1,8 \cdot f_{ctm}(t)$ $\beta = 0.4$ $\eta_r = 1$

$$\varepsilon_{sm} - \varepsilon_{cm} - \varepsilon_{cs} = \frac{\sigma_s - \beta \cdot \sigma_{sr}}{E_s} + \eta_r \cdot \varepsilon_{sh}$$

Values for τ_{bm} , β and η_r for deformed reinforcing bars

	Crack formation stage	Stabilized cracking stage
Short term, instantaneous loading	$\tau_{bm} = 1,8 \cdot f_{ctm}(t)$ $\beta = 0.6$ $\eta_r = 0$	$\tau_{bm} = 1,8 \cdot f_{ctm}(t)$ $\beta = 0.6$ $\eta_r = 0$
Long term, repeated loading	$\tau_{bm} = 1,35 \cdot f_{ctm}(t)$ $\beta = 0.6$ $\eta_r = 0$	$\tau_{bm} = 1,8 \cdot f_{ctm}(t)$ $\beta = 0.4$ $\eta_r = 1$

$$\varepsilon_{sm} - \varepsilon_{cm} - \varepsilon_{cs} = \frac{\sigma_s - \beta \cdot \sigma_{sr}}{E_s} - \eta_r \cdot \varepsilon_{sh}$$

Values for τ_{bm} , β and η_r for deformed reinforcing bars

	Crack formation stage	Stabilized cracking stage
Short term, instantaneous loading	$\tau_{bm} = 1,8 \cdot f_{ctm}(t)$ $\beta = 0.6$ $\eta_r = 0$	$\tau_{bm} = 1,8 \cdot f_{ctm}(t)$ $\beta = 0.6$ $\eta_r = 0$
Long term, repeated loading	$\tau_{bm} = 1,35 \cdot f_{ctm}(t)$ $\beta = 0.6$ $\eta_r = 0$	$\tau_{bm} = 1,8 \cdot f_{ctm}(t)$ $\beta = 0.4$ $\eta_r = 1$

$$\varepsilon_{sm} - \varepsilon_{cm} - \varepsilon_{cs} = \frac{\sigma_s - \beta \cdot \sigma_{sr}}{E_s} - \eta_r \cdot \varepsilon_{sh}$$

Values for τ_{bm} , β and η_r for deformed reinforcing bars

	Crack formation stage	Stabilized cracking stage
Short term, instantaneous loading	$\tau_{bm} = 1,8 \cdot f_{ctm}(t)$ $\beta = 0.6$ $\eta_r = 0$	$\tau_{bm} = 1,8 \cdot f_{ctm}(t)$ $\beta = 0.6$ $\eta_r = 0$
Long term, repeated loading	$\tau_{bm} = 1,35 \cdot f_{ctm}(t)$ $\beta = 0.6$ $\eta_r = 0$	$\tau_{bm} = 1,8 \cdot f_{ctm}(t)$ $\beta = 0.4$ $\eta_r = 1$

$$\varepsilon_{sm} - \varepsilon_{cm} - \varepsilon_{cs} = \frac{\sigma_s - \beta \cdot \sigma_{sr}}{E_s} + \eta_r \cdot \varepsilon_{sh}$$

Crack width limits (wlim) (in mm) for RC and PC members with bonded prestressing steel

(Table 7.6-1 of MC2010). Exposure classes are given according to Table 4.7-2 of MC2010 and ISO 22965-1.

	RC	PL1	PL2	PL3
X0	0.3	0.2	0.3	0.3
XC	0.3	0.2	0.3	0.3
XD	0.2	$\sigma < 0$ *	0.2	0.2
XS	0.2	$\sigma < 0$ *	0.2	0.2
XF	0.2	$\sigma < 0$ *	0.2	0.2

* *Stress in concrete at the level of prestressed reinforcement*

RC: For non-prestressed reinforcement

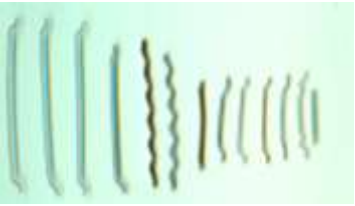
PL1: For all prestressing reinforcement used in environments which have relatively low aggressiveness and which are well protected by the structures

PL2: For all other prestressing reinforcement in all other combinations of environments and/or exposure and protection not included in protection levels PL1 and PL3 provided by the structures

PL3: For all prestressing reinforcement used in aggressive environment and/or severe exposure and with low protection provided by the structures

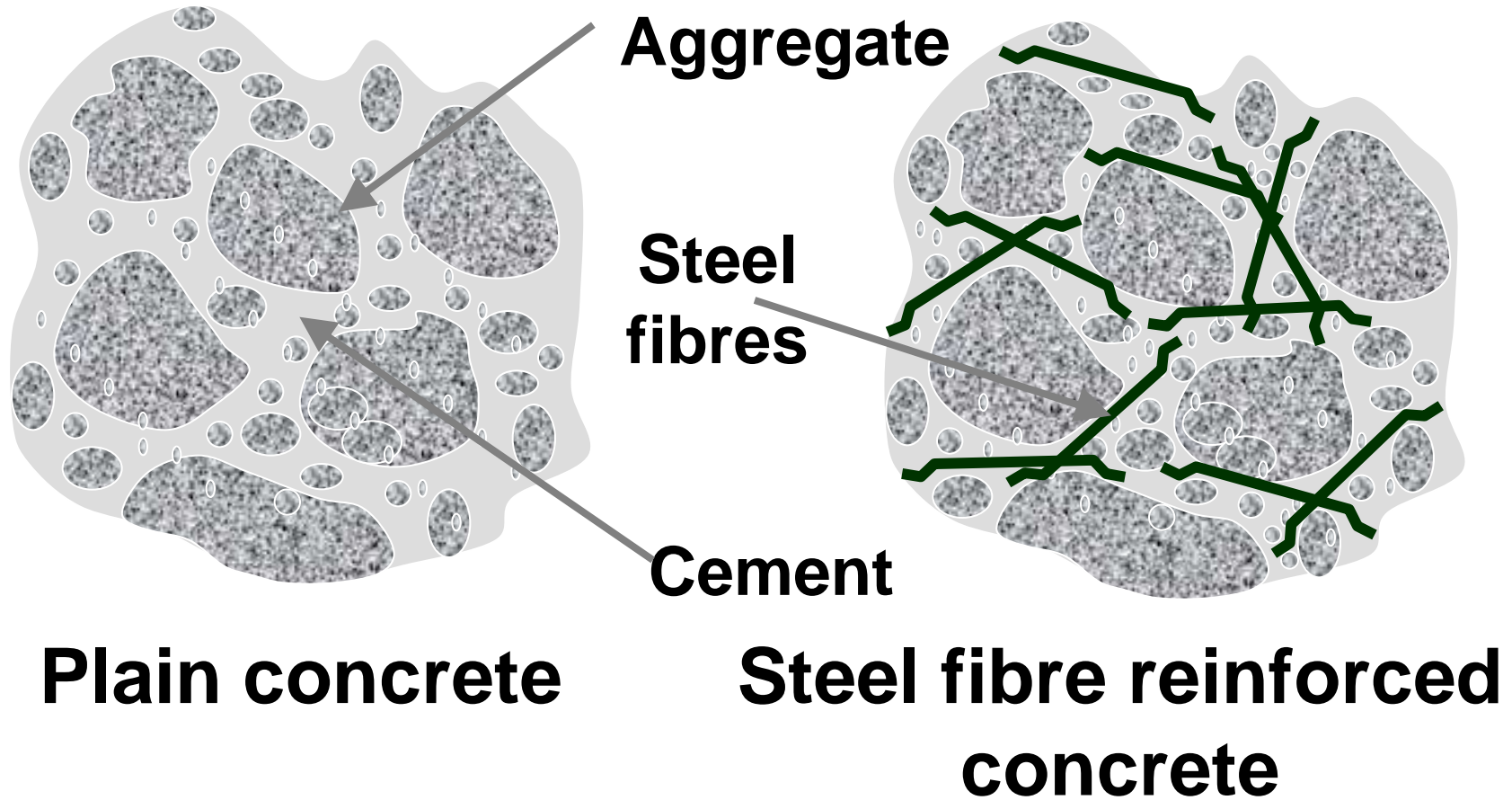
BOND



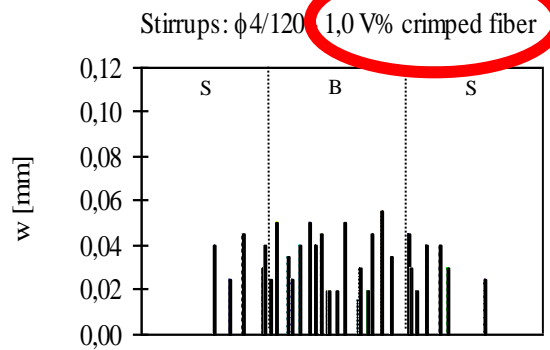
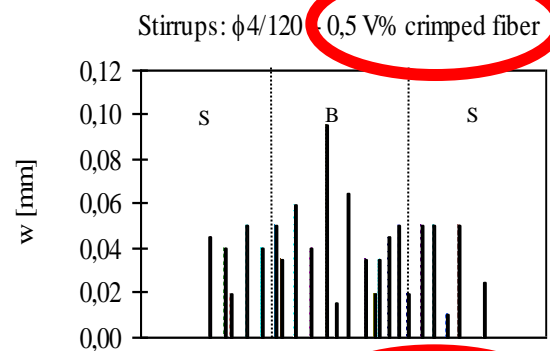
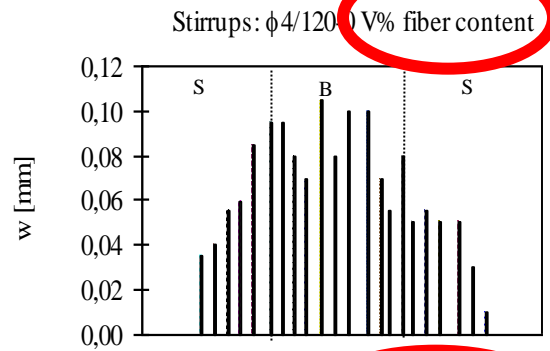


CRACKING IN

STEEL FIBRE REINFORCED CONCRETE



CRACK DISTRIBUTION (Kovács, Balázs, 2004)

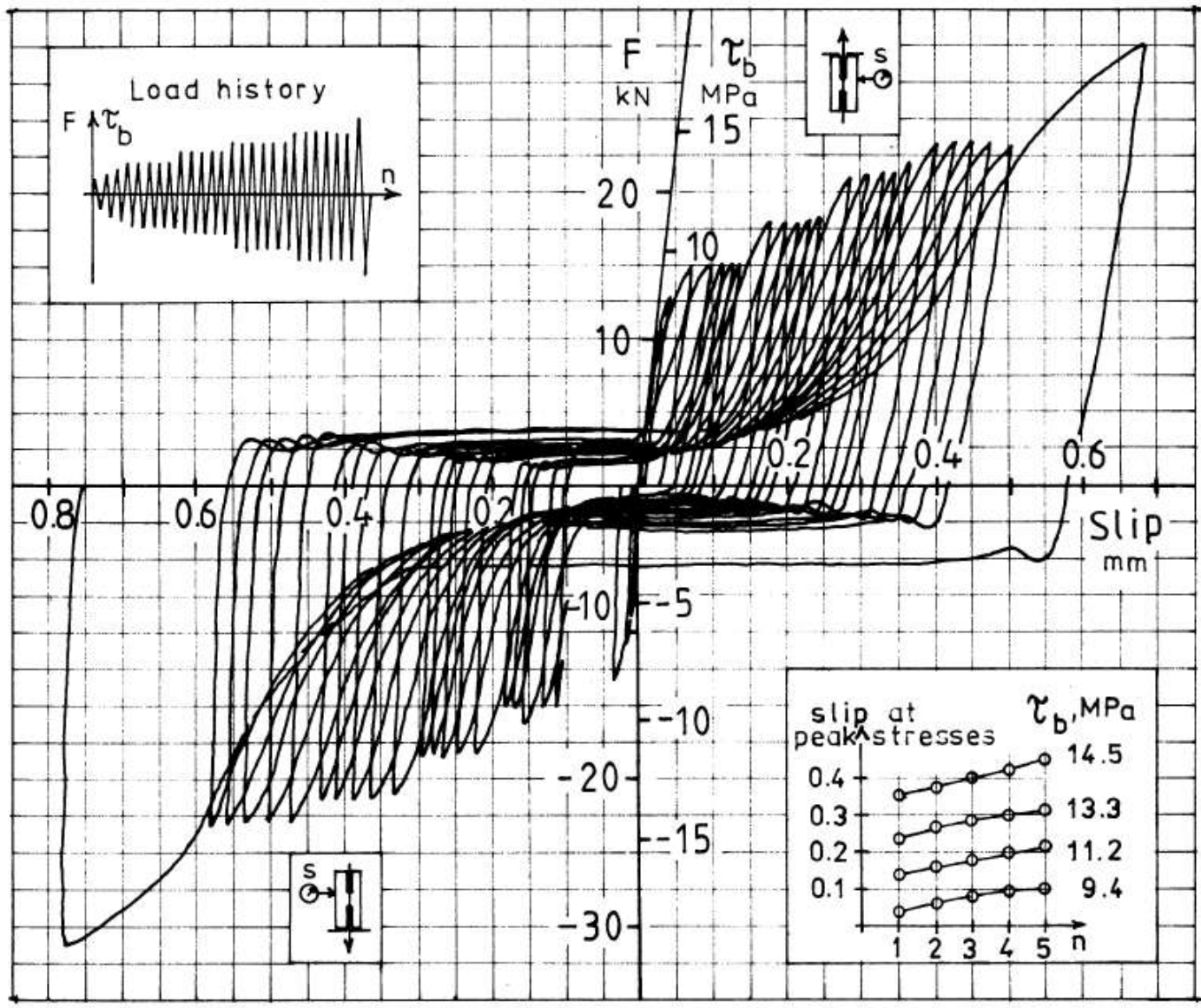


	CRACKS		
	S+B	B	S
No.	22	9	13
Σw [mm]	1.45	0.74	0.71
w_m [mm]	0.066	0.082	0.055
s_w [mm]	82	67	92

	CRACKS		
	S+B	B	S
No.	23	9	14
Σw [mm]	0.945	0.445	0.500
w_m [mm]	0.041	0.049	0.036
s_w [mm]	78	67	86

	CRACKS		
	S+B	B	S
No.	30	17	13
Σw [mm]	1.030	0.585	0.445
w_m [mm]	0.034	0.034	0.034
s_w [mm]	60	35	92

Reversed cyclic loading produces increase in slip and crack widths



9—Force-controlled load reversals: $d_b = 6$ mm (0.63 in.) deformed bar; $f_y =$ MPa (58 ksi); $f'_c = 25$ MPa (3.6 ksi); $l_b = 2d_b$

(Balázs, 1991)



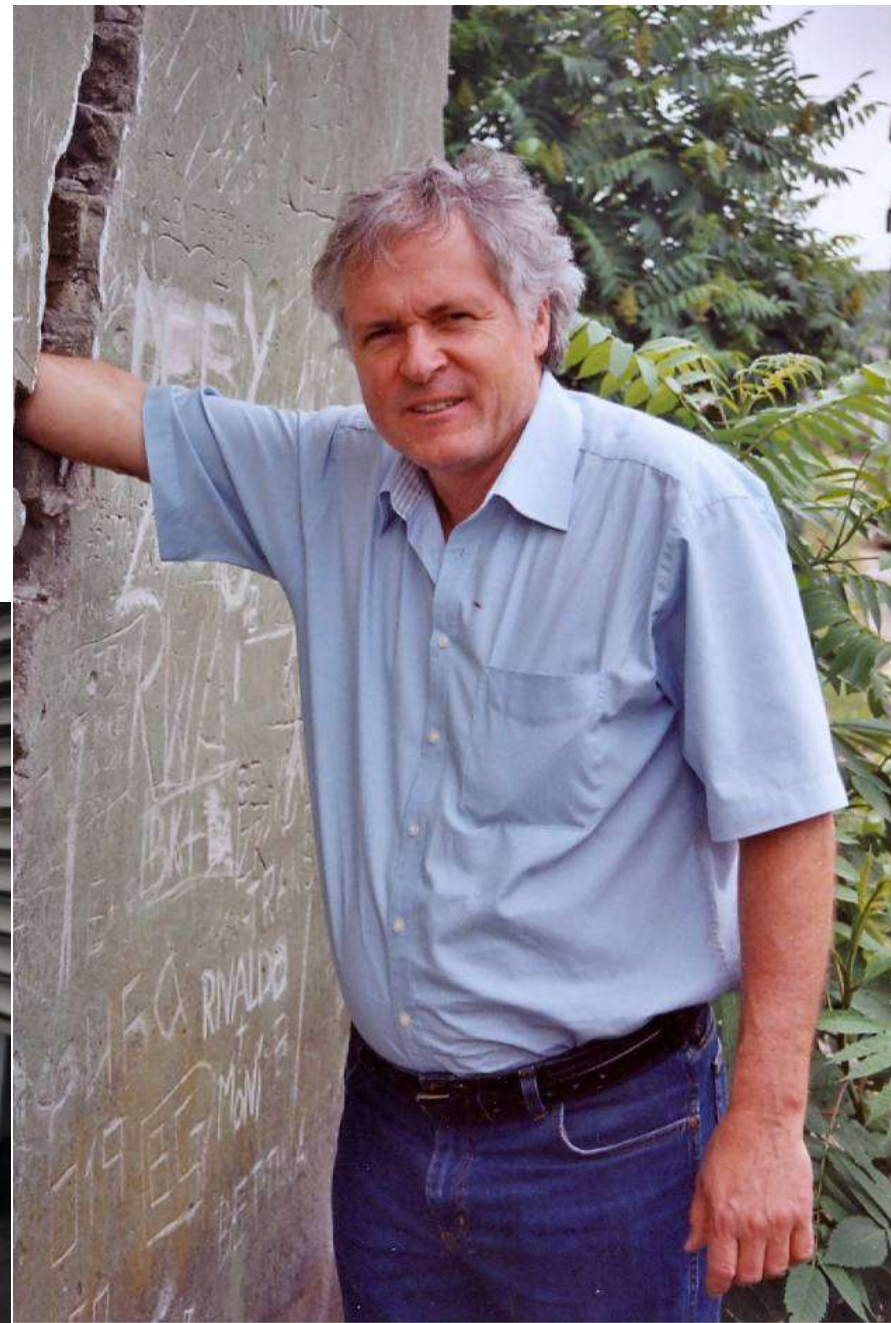
- Focus: *fib* Model Code for Concrete Structures 2010
- Stand engineering through conceptual design to *fib* MC 2010
- Design for SLS according to *fib* MC 2010
- Compressive, tensile and flexural behaviour of concrete
- Behaviour of concrete under restrained drying shrinkage
- Polymer tendons for crack healing in cementitious materials
- Mix design method for high-performance geopolymer mortars
- Design for punching of prestressed concrete slabs
- Residual compressive and flexural strength of RAC
- Impact of projectiles on concrete

„Serviceability Models”

- CZ:** Vítek, J., Cervenka, V.;
Kohoutková, A;
- F:** Bisch, P.; Torrenti, J.-M.
Toutlemond, F.; Lorrain, M.
- D:** Eckfeldt, L.; Fehling, E.;
Ozbolt, J.; Windisch, A.;
- H:** Balázs, G.L.; Borosnyói, A.;
Lenkei, P.
- I:** Ceroni, F.; Debernardini, P. G.;
Pecce, M.; Taliano, M.,
Chiorino, M.
- J:** Ueda, T.
- E:** Caldentey, A. P., Mari-Bernat, A.;
Torres, L.
- CH:** Burdet, O.; Burns, C.
- Tun:** Daoud, A.
- UK:** Beeby†, A. W.; Lark, B.

Thanks!

Be careful with cracks



3ª JORNADA DE AVANCES EN DISEÑO Y TECNOLOGÍA DEL HORMIGÓN

Viernes 27 de octubre - 8 a 12 hs - Facultad de Ingeniería

Anfiteatro del Edificio Polifuncional José L. Massera, anexo a la Facultad de Ingeniería (UdeLAR) Senda Nelson Landoni esq. Julio Herrera y Reissig, Montevideo



Horario	Tema	Ponente
8:00	Registro en la jornada	
8:15	Apertura de la jornada	L. Segura
8:30	Resultados preliminares del proyecto FMV – ANII “Aplicación de nuevos hormigones para premoldeados”, realizado en Uruguay.	G. Rodríguez
9:00	Hormigón proyectado con fines estructurales: Aspectos básicos y nuevas tendencias.	S. Cavalaro
9:45	Pausa - Café	
10:00	Módulo de deformación del hormigón: Estudios experimentales y situación normativa en Uruguay.	M.N. Pereyra
10:30	Perspectivas del Código Modelo fib 2020. Verificaciones de Servicio, Vida Útil y Control de Fisuración.	G. Balazs
11:15	Discusión y cierre: Desarrollo del hormigón Estructural en Uruguay	L. Segura

Entrada gratuita con inscripción previa en: <https://goo.gl/forms/kQzyXuokLSuOx1Vv1>



Prof. Dr. György L. Balázs

Profesor de la Universidad de Tecnología y Economía de Budapest en Hungría (Jefe del Departamento de Materiales, Construcción y Tecnología). Ha trabajado en diversos campos de actividad relacionados con el hormigón, que incluyen: estudios experimentales y análisis sobre hormigón, hormigón armado y estructuras de hormigón pretensado, FRC (hormigón reforzado con fibra), FRP (polímero reforzado con fibra) como refuerzos unidos internamente, refuerzos adheridos externamente o refuerzos casi montados en superficie (NSM), Durabilidad, Vida útil, Resistencia y diseño ante fuego, Adherencia y fisuración, HPC (hormigón de alto rendimiento), o Sostenibilidad. Es presidente de la Comisión fib para la difusión de conocimientos, que abarca cursos-fib, libros-fib sobre el diseño avanzado de estructuras de hormigón. Fundó la serie de “fib International PhD Symposia” en Ingeniería Civil en 1996. Ha sido elegido como Presidente de fib para el período de 2011 y 2012, sirviendo como presidente inmediato pasado (2013 y 2014), y actualmente como Presidente Honorario, participando como invitado en las reuniones del fib Presidium.



Prof. Dr. Ing. Sergio Cavalaro

Ingeniero Civil por la Universidade Estadual de Londrina (Brasil) en diciembre de 2006, Doctor en Ingeniería de la Construcción por la Universidad Politécnica de Cataluña (UPC), España, en 2009, además de la mención de Doctor Europeo en virtud del trabajo realizado en TU Delft (Delft, Holanda). Desde septiembre de 2010 es profesor del Departamento de Ingeniería de la Construcción de la Escuela Técnica Superior de Ingenieros de Caminos, Canales y Puertos de Barcelona (UPC). Como parte de su actividad docente es profesor de las asignaturas Química de Materiales, Materiales de Construcción y Durabilidad y responsable de Técnicas experimentales, Materiales Avanzados y Hormigones especiales. Sus principales líneas de interés se encuentran en el ámbito de la tecnología de la construcción, hormigones especiales (p. ej. hormigón autocompactante, hormigón con fibras y hormigón proyectado entre otros), presas de hormigón, durabilidad y construcción subterránea. En dichos temas ha dirigido tesis doctorales y es autor de artículos científicos publicados en revistas indexadas y comunicaciones en congresos de ámbito técnico y científico.



Prof. Dr. Gemma Rodríguez

Profesora Titular del Instituto de la Construcción (IC) de Facultad de Arquitectura de UDELAR y Profesor Agregado del Instituto de Ensayo de Materiales (IEM), de Facultad de Ingeniería. Maestría y Doctor en Ingeniería Civil por la Universidad Federal de Río Grande do Sul, Brasil, en 1994 y 2000, respectivamente. Arquitecta, egresada de UDELAR en 1983. Como parte de su actividad docente es Profesora de las asignaturas Materiales y Ensayos, y responsable de 3 cursos de Posgrado (Materiales: estructura, propiedades y Tecnología; Desarrollo de materiales para la industria de la construcción y Hormigones Especiales). Su área de investigación es el desarrollo y aplicación de materiales y componentes para la construcción abarcando en dicha área hormigones especiales (hormigones de alto desempeño, autocompactantes, hormigones verdes, y más recientemente hormigones con fibras y translúcidos), valorización de residuos y durabilidad, entre otros. En temas de dicha área ha sido y es responsable de más de una decena de proyectos concursados que obtuvieron financiación externa. Su trabajo se refleja en artículos en revistas indexadas y comunicaciones en congresos de ámbito técnico y científico, así como en la orientación de tesis de maestría y doctorado. Integra el Sistema Nacional de Investigadores (SNI) desde el año 2009, alcanzando el Nivel II en 2014.



Prof. Dr. María Noel Pereyra

Ingeniera Civil titulada en la Facultad de Ingeniería de la UdeLAR (2002). Es Doctora en Ingeniería (Doktor Ingenieur) por la Universidad Técnica de Múnich (TUM), Alemania (2007), tesis doctoral: “Deformación Transversal de Hormigones Autocompactantes”. Se desempeña como Profesora Adjunta (docente de Dedicación Total) del Departamento de Construcción del Instituto de Estructuras y Transporte (IET) de la Facultad de Ingeniería de la UdeLAR. Es responsable de los cursos de “Introducción a la Construcción”, “Tecnología del Hormigón” y “Laboratorio de Tecnología del Hormigón”, de las carreras de Ingeniería Civil. Es responsable del Laboratorio de hormigones del Departamento de Construcción del IET, donde se realizan estudios, ensayos y trabajos de asesoramiento al medio e investigación en las áreas de control de calidad del hormigón, patologías y durabilidad de hormigones. En este marco actualmente desarrolla actividades de investigación en los siguientes proyectos: “Control de calidad de adoquines de hormigón para pavimentos articulados” (dirigiendo tesis doctoral en la temática), “Deformación en hormigones: Módulo de elasticidad y su correlación con la resistencia a la compresión para hormigones elaborados con materias primas nacionales” y “Estudio de la reactividad alcalina potencial de agregados nacionales, medidas de control”.



Prof. Dr. Luis Segura

Ingeniero Civil por la Universidad de la República (UdeLAR), Uruguay, en 2008. Doctor en Ingeniería de la Construcción por la Universidad Politécnica de Cataluña (UPC), España, en 2013, y mención de Doctor Europeo en virtud del trabajo realizado en Loughborough University (Inglaterra). En el ámbito académico es profesor a tiempo completo del Departamento de Estructuras de la Facultad de Ingeniería (FING) de la Universidad de la República (UdeLAR). Responsable de las asignaturas Hormigón 1 y 2, y del curso de posgrado Hormigones Reforzados con Fibras, dentro de la Maestría en Ingeniería Estructural. Es miembro desde 2014 del Sistema Nacional de Investigadores (SNI), de la Agencia Nacional de Investigación e Innovación (ANII), de Uruguay. Su marco de investigación se centra en el desarrollo y aplicación de hormigones especiales, y en particular, de hormigones reforzados con fibras, tema sobre el que ha publicado varios artículos en revistas de alcance internacional, así como en congresos regionales e internacionales.



ORGANIZA:



PATROCINA:



APOYA:

